

## รายงานการวิจัย

### โครงการวิจัยเรื่อง

การผลิตโมโนคลอนอลแอนติบอดีต่อเซมิคาร์บაไซด์

PRODUCTION OF MONOCLONAL ANTIBODY AGAINST SEMICARBAZIDE

สถาบันวิจัยเทคโนโลยีชีวภาพและวิศวกรรมพัณฑุศาสตร์

จุฬาลงกรณ์มหาวิทยาลัย

### คณะกรรมการวิจัย

นายอณุมาศ ปัวเจียва หัวหน้าโครงการ

นางทรงจันทร์ ภู่ทอง

ผศ.ดร.กิตตินันท์ โภมลภิส

อ.ดร.นันทิกา คงเจริญพร

นางสาวอุมาพร พิมพิทักษ์

ร.ศ.ดร.พลาฤทธิ์ แสงวนิช ที่ปรึกษาโครงการ

31 มีนาคม 2558

## กิตติกรรมประกาศ

งานวิจัยฉบับนี้สามารถดำเนินการวิจัยสำเร็จลุล่วงไปได้โดยได้รับทุนอุดหนุนการวิจัยจากเงินอุดหนุนทั่วไปจาก  
รัฐบาลประจำปีงบประมาณ 2555

ขอกราบขอบพระคุณ รองศาสตราจารย์ ดร. พลกฤษณ์ แสงวนิช ที่กรุณารับเป็นที่ปรึกษาโครงการ ช่วยให้คำปรึกษา  
และแนะนำการแก้ไขปัญหาต่างๆ

ขอขอบคุณบุคลากรฝ่ายสนับสนุน ฝ่ายธุรการและฝ่ายซ่างในสถาบันวิจัยเทคโนโลยีชีวภาพและวิศวกรรมพันธุศาสตร์  
ทุกท่านที่ให้การช่วยเหลือ และดำเนินการต่างๆ ให้งานวิจัยสำเร็จได้ด้วยดี

คณะผู้วิจัย

## บทคัดย่อภาษาไทย

ไนโตรฟูราโซน (Nitrofurazone ,NFZ) เป็นยาในกลุ่มสารในต่อฟูเรนที่เก๊าตรวจนิยมใช้ในการป้องกันและรักษาโรคเกี่ยวกับระบบทางเดินอาหารในสัตว์เพื่อการบริโภค ได้แก่ โค ,สุกร ,ไก่ ,ปลา และกุ้ง ยานีเมื่อเข้าสู่ร่างกายจะถูกเปลี่ยนเป็นสารเมแทบอไรต์ คือ เซมิคารบازิด (Semicarbazide ,SEM) ติดกับเนื้อยื่น อาจเป็นสาเหตุของมะเร็งและก่อให้เกิดกล้ายพันธุ์

งานวิจัยนี้ได้ทำการผลิตโมโนคลอนอลแอนติบอดีต่อสาร SEM หรือ สารอนุพันธ์ NPSEM ซึ่งเป็นรูปสารสำหรับการตรวจหาสารตกค้างในเนื้อสัตว์ โดยการฉีดกระตุนหนูทดลองด้วยอนุพันธ์ CPSEM ที่เชื่อมต่อด้วย BSA (CPAOZ-BSA) จากผลการทดลองที่ได้พบว่า CPSEM-BSA สามารถที่จะใช้เป็นแอนติเจนในการกระตุนภูมิคุ้มกันของหนูทดลอง เพราะสามารถผลิตไบบริโภคโมโนคลอนที่ผลิตแอนติบอดี ซึ่งมีความสามารถในการจับกับสาร NPSEM และ NFZ ในรูปอิสระได้ จากการคัดเลือกไบบริโภคโมโนคลอนที่ผลิตแอนติบอดีต่อสาร NPSEM มีจำนวน 22 โคลน โดยเป็นโคลนจากเซลล์หลุมตัน 11/10G และ 12/1A ซึ่งไม่ในโคลอนอลแอนติบอดีที่ได้นี้ ทุกโคลนสามารถจับกับ NFZ ซึ่งเป็นยาตังตัน และ NPSEM ในรูปอนุพันธ์ สำหรับใช้ตรวจหาสารตกค้าง โคลนที่ได้จากเซลล์หลุมตัน 11/10G จะสามารถจับกับ NPSEM ได้ดีกว่าโคลนที่ได้จากเซลล์หลุมตัน 12/1A และแอนติบอดีที่ได้เป็นชนิด IgG<sub>3</sub> ส่วนโคลนที่ได้จากเซลล์หลุมตัน 12/1A เป็นชนิด IgG<sub>3</sub> และ IgM จากโคลนที่ได้เหล่านี้จึงทำการคัดเลือกโคลน 3 โคลน จากเซลล์หลุมตัน 11/10G และ 12/1A โดยเลือกจากโคลนที่สามารถจับกับ NPSEM ได้ดี คือ มีค่า IC<sub>50</sub> ต่ำที่สุด ได้แก่ โคลนหมายเลข 8 และ 43 จากเซลล์หลุมตัน 11/10G ซึ่งมีค่า IC<sub>50</sub> เท่ากับ 13.9 และ 13.1 นาโนกรัมต่อมิลลิลิตร ตามลำดับ และเลือกโคลนหมายเลข 25 จากเซลล์หลุมตัน 12/1A ซึ่งจับกับ NFZ ได้ดี มีค่า IC<sub>50</sub> เท่ากับ 145.2 นาโนกรัมต่อมิลลิลิตร นำมาทำให้บิสทูฟิล์ดิยาร์ช affinity chromatography ซึ่งโคลนทั้ง 3 หมายเลข มีปริมาณโปรตีนเท่ากับ 1.17 ,0.99 และ 1.20 มิลลิกรัมต่อมิลลิลิตร ตามลำดับ จากนั้นทำการทดสอบหาความจำเพาะของโคลนหมายเลข 8 ,25 และ 43 ต่อสาร NPSEEM และ NFZ อีกด้วย ได้ค่า IC<sub>50</sub> และค่า LOD ต่อสาร NPSEM ของโคลนหมายเลข 8 เท่ากับ 56.77 และ 2.96 นาโนกรัมต่อมิลลิลิตร โคลนหมายเลข 25 เท่ากับ 134.90 และ 4.57 นาโนกรัมต่อมิลลิลิตร และโคลนหมายเลข 43 เท่ากับ 23.75 และ 0.50 นาโนกรัมต่อมิลลิลิตร สำหรับค่า IC<sub>50</sub> และค่า LOD ต่อสาร NFZ นั้น โคลนหมายเลข 8 มีค่าเท่ากับ 572.90 และ 8.11 นาโนกรัมต่อมิลลิลิตร โคลนหมายเลข 25 มีค่าเท่ากับ 903.60 และ 15.52 นาโนกรัมต่อมิลลิลิตร และโคลนหมายเลข 43 มีค่าเท่ากับ 142.10 และ 0.83 นาโนกรัมต่อมิลลิลิตร โดยเมื่อตู้จากค่า IC<sub>50</sub> และค่า LOD ของโคลนทั้ง 3 หมายเลข พบร่วมกัน 3 โคลนมีความจำเพาะต่อสาร NPSEM มากกว่า NFZ โดยโคลนหมายเลข 43 มีความไวมากที่สุด

## បញ្ជីគោលការណ៍របស់ខ្លួន

Nitrofurazone (NFZ) is a nitrofuran drug which is widely used in prevention and treatment of animals such as cattle, swine, chicken, fish and shrimp, for consumption. When NFZ enters the body, it is metabolized to semicarbazide (SEM) which attached to the tissue and is considered to be a carcinogen and mutagen.

In this research, monoclonal antibody against SEM or its nitrophenyl derivative (NPSEM) which is the stabilized form for residue detection was produced. Immunization of mice was performed by using the carboxyphenyl derivative-bovine serum albumin conjugate (CPSEM-BSA) as the antigens. The results suggested that CPSEM-BSA could induce hybridoma clone which produce antibodies with binding ability to NPSEM, and NFZ. After screening, twenty-two hybridomas which produce antibody against NPSEM were selected from the originated well no. 11/10G and 12/1A. All antibodies could bind to NFZ and NPSEM. Clones from well no. 11/10G were better than those from well no. 12/1A in NPSEM-binding ability. After characterization, the isotype of antibody from well no. 11/10G and 12/1A was found to be IgG<sub>3</sub> and IgM, respectively. Three monoclonals were selected based on their ability to bind with NPSEM as quantified in term of the 50% inhibition concentration value. Clone no. 8 and no. 43 were obtained from the originated well no. 11/10G while clone no. 25 was from the well no. 12/1A. Their IC<sub>50</sub> values were 13.9, 13.1 and 145.2 nanogram per millilitre, respectively. Proteins were purified by affinity chromatography yielding protein content at 1.17, 0.99 and 1.20 mg/ml, respectively. Subsequently, the specificities of antibody from clone no. 8, 25 and 43 to NPSEM and NFZ were reanalyzed. The IC<sub>50</sub> and LOD for NPSEM of clone no. 8 were 56.77 and 2.96 ng/ml while those of clone no. 25 were 134.90 and 4.57 ng/ml and those of clone no. 43 were 23.75 and 0.50 ng/ml. The IC<sub>50</sub> and LOD for NFZ of clone no. 8 were found to be 572.90 and 8.11 ng/ml while those of clone no. 25 were 903.60 and 15.52 ng/ml and those of clone no. 43 were 142.10 and 0.83 ng/ml. From these IC<sub>50</sub> and LOD values, it was found that antibodies of all three clones are more specific to NPSEM than to NFZ and clone no. 43 was the most sensitive clone.

## สารบัญเรื่อง (Table of Contents)

	หน้า
กิตติกรรมประกาศ	ก
บทคัดย่อภาษาไทย	๑
บทคัดย่อภาษาอังกฤษ	๒
สารบัญเรื่อง	๓
สารบัญตราสาร	๔
สารบัญภาพ	๕
คำขอใบอนุญาตกลุ่ม ๑ และคำยื่นที่ใช้ในการวิจัย	๖
1. บทนำ	๑
1.1 ความสำคัญและที่มาของปัญหาที่ทำการวิจัย	๑
1.2 วัตถุประสงค์หลักของแผนงานวิจัย	๒
1.3 ขอบเขตของโครงการวิจัย	๒
1.4 ทฤษฎี สมมุติฐาน (ถ้ามี) และกรอบแนวความคิดของแผนงานวิจัย	๒
1.5 การทบทวนวรรณกรรม/สารสนเทศที่เกี่ยวข้อง	๔
1.6 ประโยชน์ที่คาดว่าจะได้รับ	๕
2. วิธีดำเนินการวิจัย	๖
2.1 คุปกรณ์และสารเคมีที่ในการวิจัย	๖
2.1.1 เครื่องมือและคุปกรณ์ที่ใช้ในการวิจัย	๖
2.1.2 สารเคมีที่ใช้ในการวิจัย	๗

## สารบัญเรื่อง (ต่อ)

หน้า

2.2 การเตรียมแอนติเจนสำหรับนีดกระตุ้นหนูทดลอง(CPSEM-BSA) และแอนติเจนสำหรับเคลือบจาน

96 หมู (CPSEM-OVA) 11

2.2.1 การเปลี่ยนแปลงอนุพันธ์ของสาร SEM เป็น CPSEM 11

2.2.2 การเชื่อมต่อ CPSEM กับ BSA และ CPSEM กับ OVA 12

2.3 การกระตุ้นภูมิคุ้มกันของหนูทดลองให้สร้างแอนติบอดีต่อสาร SEM และ NPSEM 12

2.3.1 การฉีดกระตุ้นหนูทดลอง 12

2.3.2 การทดสอบความจำเพาะของแอนติบอดีต่อ SEM และ NPSEM ในรูปแบบ indirect ELISA 12

2.3.3 การทดสอบความจำเพาะของแอนติบอดีต่อ SEM และ NPSEM ในรูปแบบ indirect ELISA 13

competitive ELISA 13

2.4 การเตรียมเซลล์โมโนโคลอนอลแอนติบอดีที่จำเพาะต่อสาร SEM และ NPSEM 13

2.4.1 การหลอมรวมเซลล์ (cell fusion หรือ hybridization) 13

2.4.2 การเลี้ยงและการคัดเลือกเซลล์ไฮบริดomaหลังการหลอมรวมเซลล์ 13

2.4.3 การตรวจหาเซลล์ไฮบริดomaที่ผลิตแอนติบอดีต่อ SEM และ NPSEM โดยวิธี indirect ELISA 14

2.4.4 การแยกเซลล์ไฮบริดomaให้ได้เซลล์เดียว (single cell cloning) โดยการทำให้เจือจาง

ด้วยวิธี limiting dilution 14

2.5 การศึกษาลักษณะเบื้องต้นของโมโนโคลอนอลแอนติบอดี 15

2.5.1 การหาความเข้มข้นของแอนติเจนและแอนติบอดีที่เหมาะสม โดยวิธี indirect ELISA 15

2.5.2 การทดสอบความไวของโมโนโคลอนอลแอนติบอดี ด้วยวิธี Indirect competitive ELISA 15

## สารบัญเรื่อง (ต่อ)

หน้า	
2.5.3 การตรวจสอบไอกไซด์บีชของโมโนคลอนอลแอนติบอดี	15
2.6 การเตรียมแอนติบอดีและทำให้บริสุทธิ์	16
2.6.1 การเลี้ยงเซลล์และการเพิ่มจำนวนเซลล์ในภาชนะเลี้ยงเซลล์	16
2.6.2 การทำแอนติบอดีให้บริสุทธิ์โดยวิธี protein A หรือ protein G affinity chromatography	16
2.6.3 การทดสอบความจำเพาะของแอนติบอดีหลังการทำให้บริสุทธิ์ต่อ SEM และ NPSEM	
ในรูปอิสรรza	17
3. ผลการวิจัย	18
3.1 การเตรียมแอนติเจนสำหรับฉีดกระตุ้นหูทดลอง (CPSEM-BSA) และแอนติเจน	
สำหรับเคลือบจาน 96 หลุม (CPSEM-OVA)	18
3.1.1 การเปลี่ยนแปลงอนุพันธ์ของสาร SEM ให้เป็น CPSEM	18
3.1.2 การเชื่อมต่อ CPSEM กับ BSA และ CPSEM กับ OVA	19
3.2 การกระตุ้นภูมิคุ้มกันของหูทดลองให้สร้างแอนติบอดี	20
3.3 การทดสอบความเซลล์และคัดเลือกเซลล์ไบบริโภมาที่ผลิตแอนติบอดีต่อ NPSEM	24
3.4 การศึกษาลักษณะเบื้องต้นของโมโนคลอนอลแอนติบอดี	26
3.4.1 การหาความเข้มข้นแอนติบอดีที่เหมาะสมโดยวิธี indirect ELISA	28
3.4.2 การทดสอบความจำเพาะของโมโนคลอนอลแอนติบอดี โดยวิธี indirect competitive ELISA	31
3.4.3 การทดสอบ ความไวของโมโนคลอนอลแอนติบอดี โดยวิธี indirect competitive ELISA	36
3.4.4 การตรวจสอบไอกไซด์บีชของโมโนคลอนอลแอนติบอดี	40

## สารบัญเรื่อง (ต่อ)

หน้า

3.4.5 การทำโมโนคลอนอลแอกนติบอดีให้บริสุทธิ์โดยวิธี affinity chromatography	42
3.4.6 การหาปริมาณโปรตีนของโมโนคลอนอลแอกนติบอดีโดยวิธี BCA หลังจากทำให้บริสุทธิ์โดยวิธี affinity chromatography	44
3.4.7 การทดสอบประสีทิกภาพของแอกนติบอดีหลังจากทำให้บริสุทธิ์โดยวิธี affinity chromatography	47
4. สรุปและอภิปรายผลการทดลอง	50
บรรณานุกรม	51
ภาคผนวก	53
ประวัติผู้รับผิดชอบแผนงานวิจัย	54

## สารบัญตาราง (List of Tables)

	หน้า
ตารางที่ 1 ค่าเบอร์เซนต์การเชื่อมติดระหว่าง CPSEM กับ BSA และ OVA ที่ความเข้มข้น 1 มิลลิกรัมต่อมิลลิลิตร	20
ตารางที่ 2 แสดงค่าการดูดกลืนแสงที่ความยาวคลื่น 450 นาโนเมตร จากการทดสอบประดับแอนติบอดีในชีรัมหนู โดยวิธี indirect ELISA	21
ตารางที่ 3 แสดงค่าการดูดกลืนแสงที่ความยาวคลื่น 450 นาโนเมตร จากการทดสอบความสามารถ	
ของแอนติบอดีในชีรัมหนูในการจับกับ SEM ,CPSEM และ NPSEM ในรูปอิสระ โดยวิธี indirect competitive ELISA	23
ตารางที่ 4 แสดงค่า IC <sub>50</sub> จากการทดสอบความไวในการจับกับสาร SEM ,CPSEM และ NPSEM ในรูปอิสระ	24
ตารางที่ 5 การคัดเลือกเซลล์ไฮบริดมาที่เพลิตแอนติบอดีที่มีความสามารถในการจับกับสาร NPSEM ในรูปอิสระ โดยวิธี indirect competitive ELISA	25
ตารางที่ 6 แสดงค่าการดูดกลืนแสงที่ความยาวคลื่น 450 นาโนเมตร จากการทดสอบแอนติบอดีในอาหาร เลี้ยงเซลล์ที่ได้จากการเก็บแข็งเซลล์ โดยวิธี indirect ELISA	27
ตารางที่ 7 แสดงค่าการดูดกลืนแสงที่ความยาวคลื่น 450 นาโนเมตร จากการหาความเข้มข้นของแอนติบอดีที่เหมาะสมในการทำปฏิกิริยา โดยวิธี indirect ELISA	29
ตารางที่ 8 แสดงค่าการดูดกลืนแสงที่ความยาวคลื่น 450 นาโนเมตร จากการทดสอบปฏิกิริยาข้ามของโมโนโคลนอลแอนติบอดีต่อสารในกลุ่มและนอกกลุ่มในต่อพูเรน	32
ตารางที่ 9 แสดงค่า IC <sub>50</sub> และเบอร์เซนต์การเกิดปฏิกิริยาข้ามในการทดสอบความจำเพาะของโมโนโคลนอล แอนติบอดีต่อสาร NPSEM และ NFZ	39

## สารบัญตาราง (ต่อ)

หน้า

ตารางที่ 10 แสดงค่าการดูดกลืนแสงที่ความยาวคลื่น 450 นาโนเมตร จากการตรวจหาไฮโซ่ไทป์ของไมโนคลอนอล

แอนติบอดี โดยวิธี indirect ELISA 40

ตารางที่ 11 แสดงค่าการดูดกลืนแสงที่ความยาวคลื่น 450 นาโนเมตร จากการทดสอบโดยคลอน

หมายเลขอ 8 ,25 และ 43 โดยวิธี indirect ELISA 43

ตารางที่ 12 แสดงค่าการดูดกลืนแสงที่ความยาวคลื่น 540 นาโนเมตร ของสารละลายโปรตีนมาตรฐาน BSA 45

ตารางที่ 13 แสดงค่าปริมาณโปรตีนของคลอนหมายเลขอ 8 ,25 และ 43 ที่ได้จากการวิธี BCA 46

ตารางที่ 14 แสดงค่าการดูดกลืนแสงที่ความยาวคลื่น 450 นาโนเมตร จากการทดสอบโดยคลอน

หมายเลขอ 8 ,25 และ 43 หลังจากทำให้บริสุทธิ์โดยวิธี indirect ELISA 47

ตารางที่ 15 แสดงค่า IC<sub>50</sub> และค่า LOD จากการทดสอบความจำเพาะของคลอนหมายเลขอ 8 ,25 และ 43

ต่อสาร NFZ ,NPSEM ,CPSEM และ SEM 49

## สารบัญภาพ (List of Illustration)

หน้า

รูปที่ 1 โครงมาโทแกรมจากการวิเคราะห์ด้วย TLC ของสารต่างๆในการสังเคราะห์ CPSEM เมื่อคุณภาพได้แสง  
อัลตราไวโอล็อกที่ความยาวคลื่น 254 นาโนเมตร และย้อมด้วยสารละลายนินไฮดริน

19

รูปที่ 2 กราฟแสดงระดับแอนติบอดีของน้ำนมทดลอง 3 ตัว ที่ได้รับการกรองด้วย CPSEM-BSA โดยวิธี

Indirect ELISA เคลือบหลุมด้วย CPSEM-OVA

22

รูปที่ 3 กราฟแสดงการทดสอบความจำเพาะของโมโนโคลนอลแอนติบอดีต่อสาร NFZ

37

รูปที่ 4 กราฟแสดงการทดสอบความจำเพาะของโมโนโคลนอลแอนติบอดีต่อสาร NFZ (ต่อ)

37

รูปที่ 5 กราฟแสดงการทดสอบความจำเพาะของโมโนโคลนอลแอนติบอดีต่อสาร NPSEM

38

รูปที่ 6 กราฟแสดงการทดสอบความจำเพาะของโมโนโคลนอลแอนติบอดีต่อสาร NPSEM (ต่อ)

38

รูปที่ 7 แสดงค่าการดูดกลืนแสงที่ความยาวคลื่น 280 นาโนเมตรของโคลนหมายเลข 8

43

รูปที่ 8 แสดงค่าการดูดกลืนแสงที่ความยาวคลื่น 280 นาโนเมตรของโคลนหมายเลข 25

44

รูปที่ 9 แสดงค่าการดูดกลืนแสงที่ความยาวคลื่น 280 นาโนเมตรของโคลนหมายเลข 43

44

รูปที่ 10 แสดงกราฟมาตรฐานสำหรับการหาปริมาณโปรตีนโดยวิธี BCA

45

รูปที่ 11 แสดงการทดสอบความจำเพาะของโคลนหมายเลข 8 ต่อสาร NFZ ,NPSEM ,CPSEM และ SEM

48

รูปที่ 12 แสดงการทดสอบความจำเพาะของโคลนหมายเลข 25 ต่อสาร NFZ ,NPSEM ,CPSEM และ SEM

48

รูปที่ 13 แสดงการทดสอบความจำเพาะของโคลนหมายเลข 43 ต่อสาร NFZ ,NPSEM ,CPSEM และ SEM

49

## คำอธิบายสัญลักษณ์ และคำย่อที่ใช้ในการวิจัย (List of Abbreviations)

AOZ	3-amino-2-oxazolidinone
NFZ	Nitrofurazone
NFT	Nitrofurantoin
FZD	Furazolidone
FTD	Furaltadone
SEM	Semicarbazide
AHD	1-Aminohydantoin
AMOZ	3-amino-5-morpholinomethyl-2-oxazolidinone
MRPL	minimum required performance limit
HPLC	High Performance Liquid Chromatography
LC-MS/MS	Liquid Chromatography-Mass Spectrometry/ Mass Spectrometry
ELISA	Enzyme-Linked-Immunosorbent Assay
CPSEM	3-{[(3-carboxyphenyl)methylene]- hydrazinecarboxamide}
NPSEM	2-nitrobenzaldehyde semicarbazone
NBA	2-Nitrobenzoic aldehyde
CBA	3-Carboxybenzaldehyde
TLC	Thin Layer Chromatography
BCA	Bicinchoninic acid assay
TNBS	Trinitrobenzene sulphonic acid
BSA	Bovine Serum Albumin
FCA	Freund's complete adjuvant
FICA	Freund's incomplete adjuvant
DMF	Dimethyl Sulfoxide
EDC	1-ethyl-3-(3-dimethylaminopropyl) Carbodiimide
OVA	Ovalbumin
CO <sub>2</sub>	Carbondioxide
FCS	Fetal calf serum
HAT	Hypoxanthine, Aminopterin และ Thymidine

## คำอธิบายสัญลักษณ์ และคำย่อที่ใช้ในการวิจัย (ต่อ)

HT	Hypoxanthine และ Thymidine
HRP	Horseradish peroxidase
IC <sub>50</sub>	inhibitory concentration 50%
LOD	limit of detection
MW	Molecular weight
PBS	phosphate buffer saline
PBS-T	phosphate buffer saline with tween20
PEG	polyethylene glycol
TMB	3,3',5,5'-Tetramethylbenzidine
H <sub>2</sub> O <sub>2</sub>	Hydrogenperoxide
H <sub>2</sub> SO <sub>4</sub>	Sulfuric acid
ppb	part per billion
ppm	part per million

## 1. บทนำ (Introduction)

### 1.1 ความสำคัญและที่มาของปัญหาที่ทำการวิจัย

ในโครงการเป็นสารปฏิชีวนะที่ใช้กันอย่างกว้างขวางในการป้องกันและรักษาโรคติดเชื้อในสัตว์ เมื่อในโครงการได้แก่ ในโครงการใน โครงการในโถน ฟูราโซลิดอน และ ฟูรัลทาโนน เข้าสู่ร่างกายของสัตว์จะถูกเมtabolize เป็นเคมีカルบากไซด์ (SEM) , 1-อะมิโนไธเดนโถน (AHD) , 3-อะมิโน-2-ออกซากไซดิโนน (AOZ) และ 3-อะมิโน-5-มอร์ฟอลินเมทิล-2-ออกซากไซดิโนน (AMOZ) ตามลำดับ สารดังกล่าวจะว่าเป็นสารก่ออมเร็งและทำให้เกิดการกลایพันธุ์ ซึ่งเป็นอันตรายต่อผู้ที่บริโภคอาหารที่มีการตกค้างของสารดังกล่าว ดังนั้นสำนักงานคณะกรรมการอาหารและยาและของประเทศไทยและสหภาพยุโรป จึงออกประกาศห้ามมิให้มีการตกค้างของสารเหล่านี้ ในปัจจุบันทั่วโลกได้ให้ความสำคัญและความสนใจอย่างมาก ในด้านความปลอดภัยของอาหาร โดยเฉพาะอย่างยิ่งการตกค้างของสารหรือยาที่เกิดจากการใช้ที่ไม่ถูกวิธีหรือผิดวัตถุประสงค์ ซึ่งอาจก่อให้เกิดอันตรายแก่ผู้บริโภคและสัตว์ที่ได้รับสารนั้น ดังนั้นหน่วยงานที่รับผิดชอบเกี่ยวกับความปลอดภัยของอาหารในประเทศไทยต่างๆ จึงได้ออกข้อกำหนดห้ามใช้สารต่างๆ ปริมาณสูงสุดของสารต่างๆ ที่สามารถตกค้างได้ (maximum residual limit, MRL) ในผลิตภัณฑ์เพื่อการบริโภค ทำให้การส่องค้นนำเข้าผลิตภัณฑ์ต้องมีการตรวจวิเคราะห์สารตกค้างต่างๆ ด้วยวิธีมาตรฐานที่ใช้ในการตรวจวิเคราะห์คือวิธีทางเคมี ได้แก่ LC-MS/MS ถึงแม้วิธีดังกล่าวจะให้ผลที่ถูกต้องแม่นยำ แต่เป็นวิธีที่จะต้องผ่านขั้นตอนที่ซับซ้อนและจำเป็นจะต้องมีเครื่องมือราคาแพงในการวิเคราะห์ผล ดังนั้นวิธีการตรวจโดยอาศัยหลักการทางวิทยาภูมิคุ้มกัน เช่น Enzyme-linked immunosorbent assay (ELISA) จึงเป็นวิธีที่ได้รับความนิยมเพิ่มขึ้น เนื่องจากมีจุดเด่นในเรื่องของความจำเพาะ ต้นทุนในการวิเคราะห์ต่ำ และสามารถตรวจตัวอย่างได้เป็นจำนวนมากในระยะเวลาอันสั้น โดยผู้นำในการพัฒนาและจำหน่ายชุดตรวจสوبเหล่านี้จะอยู่ในกลุ่มประเทศไทยและสหภาพยุโรป ซึ่งเป็นกลุ่มประเทศผู้นำเข้าสินค้าที่สำคัญของประเทศไทย และเป็นผู้ออกข้อกำหนดที่ส่งผลให้ผู้ส่งออกของไทยต้องใช้ชุดตรวจสوبจากกลุ่มประเทศเหล่านี้ ดังนั้นหากประเทศไทยสามารถที่จะพัฒนาและผลิตชุดตรวจสوبที่มีมาตรฐานเทียบเท่ากับชุดตรวจสوبที่มีจำหน่ายอยู่ในปัจจุบัน จะเป็นการลดภาระนำเข้าชุดตรวจสوبจากต่างประเทศ และคาดผลผลกระทบของข้อกำหนดของปริมาณสารสูงสุดของสารตกค้างเนื่องจากผู้ส่งออกมีทางเลือกใช้ชุดตรวจสوبที่พัฒนาขึ้น ไม่ต้องพึ่งแต่ชุดตรวจกลุ่มประเทศเหล่านี้ นอกจากนี้จะทำให้สามารถตรวจสารตกค้างในตัวอย่างอาหารสำหรับบริโภคในประเทศไทยได้ครอบคลุมมากขึ้น ไม่จำเป็นต้องสูญเสียจำนวนน้อยจากสินค้าจำนวนมาก ทำให้การเฝ้าระวังสินค้าอาหารปลอดภัยสำหรับประชาชนของประเทศไทยเป็นไปอย่างมีประสิทธิภาพมากขึ้น ซึ่งประเทศไทยต้องใช้เงินจำนวนมากในการนำเข้าชุดตรวจสوبสารเคมีカルบากไซด์ ตัวอย่างเช่น ELISA เพื่อทดสอบการนำเข้า และเป็นทางเลือกในการตรวจตัวอย่างจำนวนมากก่อนการตรวจยืนยันด้วยวิธีทางเคมี

## 1.2 วัตถุประสงค์หลักของแผนงานวิจัย

- เตรียมเซลล์ไฮบริดมาที่สามารถผลิตโมโนโคลนอลแอนติบอดีที่จำเพาะต่อ SEM

- ศึกษาลักษณะสมบัติของโมโนโคลนอลแอนติบอดีที่ได้

## 1.3 ขอบเขตของโครงการวิจัย

- ค้นคว้าและรวบรวมข้อมูลที่เกี่ยวข้องกับงานวิจัย

- เปรียบเทียบความไวของสาร SEM ให้กับสาร 3-[(3-carboxyphenyl) methylene]- hydrazinecarboxamide (CPSEM) และเชื่อมตอกับโปรตีนพาหะ เพื่อใช้เป็นแอนติเจน

- ฉีดกระตุ้นระบบภูมิคุ้มกันของหนูให้สร้างแอนติบอดีต่อ สาร SEM และ NPSEM

- เตรียมเซลล์ไฮบริดมาที่มีความสามารถในการสร้างแอนติบอดี

- คัดเลือกเซลล์ไฮบริดมาที่สร้างโมโนโคลนอลแอนติบอดีที่จำเพาะต่อ SEM และ NPSEM โดยวิธี ELISA

- ศึกษาลักษณะสมบัติเบื้องต้นของโมโนโคลนอลแอนติบอดีที่ได้

- การทดสอบไอโซไทป์ (isotype) ของโมโนโคลนอลแอนติบอดีต่อ SEM โดยใช้ชุดทดสอบไอโซไทป์

(isotyping kit บริษัท Sigma Aldrich ,USA)

- การทดสอบความไวและปฏิกิริยาข้ามกับสารในกลุ่มไนโตราฟูเรน และสารออกฤทธิ์เดี้ยววิธี Indirect

competitive ELISA

- การทำโมโนโคลนอลแอนติบอดีให้บริสุทธิ์

- วิเคราะห์ข้อมูล สรุปผลการทดลอง ทำรายงานฉบับสมบูรณ์

## 1.4 ทฤษฎี สมมุตฐาน (ท้าม) และกรอบแนวความคิดของแผนงานวิจัย

ในไตรฟูเรนมีสมบัติเป็นยาปฏิชีวนะ ประกอบด้วยสาร 4 กลุ่มคือ พูราโซลิดโคน (furazolidone, N-[5-nitro-2-furfurylidene]-3-amino-2-oxazolidone ,FZD) พูรัลทาโคน (furaltadone, 5-morpholinomethyl-3-[5-nitrofurfurylideneamino]-2-oxazolidinone ,FTD) ในไตรฟูเรนໂທອิน (nitrofurantoin, N-[5-nitro-2-furfurylidene]-1-aminohydantoin ,NFT) และ ในไตรฟูร่า

ไซน (nitrofuranzone, 5-nitro-2-furaldehyde semicarbazone ,NFZ) สารกลุ่มนี้ใช้ในการป้องกัน และรักษาโรคระบบทางเดินอาหารซึ่งมีสาเหตุมาจากการติดเชื้อ Escherichia coli และ Salmonella spp. อีกทั้งยังสามารถใช้เป็นสารในการกรองดูน้ำ เจริญเติบโตของสัตว์เลี้ยงเพื่อการบริโภค เช่น โค หมู เป็ด และไก่ เป็นต้น แต่เนื่องจาก NFZ ,NFT ,FZD และ FTD มีสมบัติที่ไม่เสถียร ไวต่อแสง และถูกออกซิได้สีได้ง่ายเมื่อสัมผัสกับอากาศเป็นเวลานาน ดังนั้นเมื่อสารเหล่านี้เข้าสู่ร่างกายจะถูกเมแทบอไรต์เปลี่ยนเป็นเซมิคาร์บازิด (semicarbazide, SEM) 1-อะมิโน-ไอกัดโนทอกsin (1- amino hydantoin, AHD) 3-อะมิโน-2-ออกซ่าโซลิดิโนน (3- amino -2- oxazolidinone ,AOZ) และ 3-อะมิโน-5-มอร์ฟอลิโนเมทิล-2-ออกซ่าโซลิดิโนน (3- amino -5-morpholinomethyl -2- oxazolidinone ,AMOZ) ตามลำดับ (Kumar et al. ,1994) ดังนั้นในการตรวจสารตกค้างจึงเป็นการตรวจหาสารเมแทบอไรต์ต่างๆ ดังกล่าว สารในกลุ่มนี้ในตรีฟูแรนนี้จัดว่าเป็นสารก่อมะเร็งและก่อให้เกิดการก่อพันธุ์ในสัตว์ทดลอง ซึ่งจะถูกเมแทบอไรต์เร็วมากหลังจากการใช้ภายใน 2-3 ชั่วโมง ก็ไม่สามารถตรวจพบได้ แต่ในทางตรงกันข้ามสารเมแทบอไรต์จะอยู่ในรูปที่ติดอยู่ที่เนื้อเยื่อ ซึ่งจะคงอยู่นานหลายสัปดาห์ (Hoogenboom et al. ,1991 ;Hoogenboom et al. ,1992 ;Gottschall et al., 1995) ในการใช้ยาและสารเหล่านี้จะใช้โดยการผสมรวมกับอาหารสัตว์ในปริมาณน้อย แต่ให้สัตว์กินติดต่อกันเป็นเวลานาน ซึ่งมีผลทำให้เกิดการสะสมของยาและสารเคมีในอวัยวะต่างๆของร่างกายสัตว์ เช่น ในนม เนื้อ หรือ ไข่ เกิดการตกค้างในเนื้อสัตว์และผลิตภัณฑ์สัตว์ทำให้เกิดการดื้อยาของเชื้อโรค ซึ่งจะส่งผลกระทบต่อผู้บริโภค (Bryan G.T. ,1978) จากอันตรายของสารในกลุ่มนี้ ทำให้เกิดความเสี่ยงที่ผู้บริโภคจะได้รับอันตรายจากสารตกค้างเหล่านี้ ดังนั้นบางประเทศจึงห้ามไม่ให้ใช้ยาและสารเหล่านี้กับสัตว์เลี้ยงเพื่อให้สำหรับการบริโภค เช่น ประเทศไทยในกลุ่มนี้สหภาพยุโรป, สหรัฐอเมริกา และ แคนาดา โดยทางกลุ่มประเทศสหภาพยุโรปได้กำหนดนิยามโดยไม่มีการตรวจพบการตกค้าง (zero tolerance) ของสารตั้งกล่าว และได้กำหนดเกณฑ์สำหรับการตรวจวัดในรูปของค่า Minimum Required Performance Limits (MRPLs) สำหรับประเทศไทยกรุงเทพมหานครได้กำหนดให้เพิกถอนทะเบียนสำหรับยาที่มีตัวยาในกลุ่มนี้ในตรีฟูแรน ได้แก่ ในตรีฟูราซอน และฟูราโซลิดิโนน นอกจากนี้ยังห้ามนำเข้ายา เกาซซเคมีภัณฑ์ และเกลือของเกาซซเคมีภัณฑ์เหล่านี้ และมีข้อกำหนดด้านความปลอดภัยสินค้าเกษตรและอาหารของสำนักงานมาตรฐานสินค้าเกษตรและอาหารแห่งชาติกระทรวงเกษตรและสหกรณ์ โดยกำหนดให้สาร สารเมแทบอไรต์ (metabolite) ทั้ง 4 ตัวของยาในกลุ่มนี้ในตรีฟูแรนต้องไม่พบในสินค้าเกษตรและอาหารโดยกำหนดให้มีค่า MRPL อยู่ที่ระดับ 0.3 ไมโครกรัมต่อกิโลกรัม สำหรับ AOZ และ AMOZ และระดับ 1 ไมโครกรัมต่อกิโลกรัม สำหรับ SEM และ AHD (ประกาศกระทรวงเกษตรและสหกรณ์,2551) แต่อย่างไรก็ตามยังมีการลักษณะของสารเหล่านี้เข้าภายในประเทศได้ในรูปของอาหารสัตว์ ดังนั้นเพื่อความปลอดภัยต่อผู้บริโภคจึงต้องทำการตรวจสอดคล้องก่อนการนำเข้าและส่งออกสินค้าเพื่อตรวจวิเคราะห์หาสารกลุ่มนี้ที่ปนเปื้อน แต่การวัดปริมาณยาตกค้างดังกล่าวสามารถทำได้ในขั้นตอนที่ต้องใช้เครื่องมือวิเคราะห์ขั้นสูงที่มีราคาแพงมาก ดังนั้น ปัจจุบัน มีการประยุกต์นำความรู้ทางด้านวิทยาภูมิคุ้มกัน (Immunology) ไปใช้ในการตรวจติดตามหาสารตกค้างในผลิตภัณฑ์อาหาร ซึ่งให้ผลการตรวจติดตามที่มีความไวสูงและแม่นยำ โดยใช้หลักการของ Enzyme-Linked Immunosorbent Assay (ELISA) เป็นเทคนิคที่ใช้กันอย่างกว้างขวางสำหรับตรวจวัดสารตกค้างโดยอาศัยหลักการการตรวจวัดเอนติเจน โดยการใช้เอนติบอดีที่ให้ผลทางชีวภาพเฉพาะกับยาและเอนไซม์ที่เข้ามต่องตัวของยา เช่น Enzyme-Linked Immunosorbent Assay (ELISA) นี้เป็นวิธีการที่ประยุกต์และรวดเร็ว

ดังนั้นเพื่อให้ต้นทุนในการตรวจสารดักจับล่าவລດตໍາລງ และເຂົ້າໃຫ້ສັງອອກຫີ່ອນໜ່ວຍງານຕ່າງໆ ສາມາຮັດເຂົ້າຖືກວາງຕ້າວອຍ່າງໄດ້ດີຍິ່ງຂຶ້ນ ຈຶ່ງຄວາມຝາກຜົດໂມໂນໂຄລນອລແອນດີບອດີທີ່ມີຄວາມຈຳເພາະຕ່ອ SEM ເພື່ອໃຊ້ພັນນາຕ່ອເປັນຫຼຸດທດສອບຫາສາຣົກຄໍາງດັກລ່າງຂຶ້ນເອງກາຍໃນປະເທດ ແລກກັບພັນນານີ້ຢັ້ງສາມາຮັດໃຫ້ເປັນແມ່ແບບໃນການພັນນາຫຼຸດທດສອບສາຣູ່ນາ ດ້ວຍວິທີ ELISA ຕ່ອໄປໄດ້ໃນອນາຄົດ ຈາກການພິຈາລານສັກຍາພາບຂອງພື້ນຖານຄວາມຮູ້ ອຸປະກຣົນ ບຸກຄາກແລກຄວາມວ່າມມີຈາກກາຍນອກທີ່ຈຳເປັນໃນການພັນນາຫຼຸດທດສອບດ້ວຍວິທີ ELISA ນັ້ນ ທາງຄົນະຜູ້ວິຈີຍມີຄວາມພ້ອມແລກສາມາຮັດທີ່ຈະທຳໃຫ້ບຽງລູວັດຖຸປະສົງຄົດໄດ້ ດັນນັ້ນ ທາງສາບັນວິຈີຍເທັກໂນໂລຢີເຊີງກາພແລກວິສາກຮົມພັນຫຼຸດສັດຕິ ຈູ່ພຳລັງກຣອນໝາວິທິຍາລັຍ ຈຶ່ງໄດ້ສັນໃຈທຳການຜົດໂມໂນໂຄລນອລແອນດີບອດີທີ່ມີຄວາມຈຳເພາະຕ່ອ SEM ເພື່ອໃຊ້ພັນນາຕ່ອເປັນຫຼຸດທດສອບຫາສາຣົກຄໍາງໃນຜົດກັນທີ່ອາຫາວັດທັງນຳເຂົ້າແລກສັງອອກຕ່ອໄປໄດ້

### 1.5 ການທັບທວນວຽກຮັມ/ສາຣັນເທັກທີ່ເກີ່ວຂ້ອງ

ໃນການตรวจວິເຄຣະຫຼອນພັນນີ້ຂອງ SEM ນີ້ສາມາຮັດຕົວຈິງວິເຄຣະໂດຍເຖິງທຳມະນຸດການເຄມືໄດ້ຫລາຍວິທີ ເຊັ່ນ high-performance liquid chromatography (HPLC)(Hoogenboom et al. ,1991) liquid chromatography-mass spectrometry (LC-MS) (McCracken et al. ,1997) ແລກ LC-MS/MS (Leitener et al. ,2001) ຈຶ່ງສາມາຮັດຕົວຈິງວິເຄຣະປົກມານສາຣມແບບອໍໄລຕ່ອງໃນໂຕຮູ່ແຮງ ໃນຮະດັບຄວາມເຂັ້ມຂັ້ນໜຶ່ງສ່ວນໃນພັນລ້ານສ່ວນໃນເນື້ອເຢືອ ແມ່ວ່າການตรวจວິເຄຣະທຳມະນຸດການເຄມືໄປວິທີທີ່ເຫັນແມ່ນຍຳສູງ ແຕ່ເປັນວິທີທີ່ຈຳເປັນຕ້ອງໃຫ້ບຸກຄາກທີ່ມີຄວາມໜໍານາງຢູ່ໃນການໃຊ້ເຄື່ອງມືອື່ນ ສັງເກດໃຫ້ການตรวจວິເຄຣະແຕ່ລະຕ້ວອຍ່າງມີຈາກາສູງ ອີກທັງໃນການตรวจວິເຄຣະຈຳເປັນຕ້ອງທຳໃຫ້ປົກມານກໍານົດການທີ່ມີເຄື່ອງມືວິເຄຣະເທົ່ານັ້ນ ຈຶ່ງເປັນເຫດຸໃຫ້ມີການສຶກຂາການตรวจວິເຄຣະໂດຍໃຫ້ຫັກການ enzyme-linked immunosorbent assay (ELISA) ຈຶ່ງສາມາຮັດໃຫ້ຕົວຈິງວິເຄຣະເພື່ອຄັດກວອງຕ້ວອຍ່າງຈຳນວນນຳກຳໄດ້ອ່າງຈາກເວົ້າ ດ້ວຍຄວາມຄຸກທີ່ອ່ານຸ່ມ ແລກມີຕົນທຸນການການຕົວຈິງທີ່ຕໍ່າກວ່າ ສາມາຮັດທຳການການตรวจວິເຄຣະໄດ້ທັງໃນຫ້ອ່ານຸ່ມ ເຊັ່ນການເປົ້າມີການພັນນາຫຼຸດທດສອບໃນຮູ່ປະບັບຂອງແດບ ຈາກການສຶກຂາກາງຜົດພອລິໂຄລນອລແອນດີບອດີຕ່ອອນພັນນີ້ຂອງສາຣົ ຂອງ SEM ໂດຍການປັ້ງປຸງປັບປຸງອຸປະກອນພັນນີ້ SEM ດ້ວຍ 3-carboxybenzaldehyde (CBA) ໄດ້ເປັນ 3-[(3-carboxyphenyl) methylene]-hydrazinecarboxamide (CPSEM) ແລ້ວທຳການເຂົ້າມີຕ່ອກກັບໂປຣຕິນພາຫະ bovine thyroglobulin ຈຶ່ງຄຸກນຳໄປຈືດກະຕຸນໃນສັດວົດຄອງພບ ພບວ່າສາມາຮັດເຕີຍມພອລິໂຄລນອລແອນດີບອດີທີ່ມີຄວາມຈຳເພາະຕ່ອ NPSEM ໂດຍສາມາຮັດຕົວຈິງພບ NPSEM ທີ່ຄວາມເຂົ້າໃໝ່ຂັ້ນໜ້ອຍກວ່າ 0.25 ໄນໂຄຮັມຕ່ອກໂຄຮັມໄດ້ ຈຶ່ງເນື່ອດໍາລັງການວຽກງານໃນການວັດໃນຮູ່ປະບັບຂອງຄຳ  $IC_{50}$  ໄດ້ເທົ່າກັບ 0.86 ໄນໂຄຮັມຕ່ອລິຕິຣ ແລກໄມ່ເກີດການທຳປົງກິຈີວິຍາຂ້າມກັບສາຣມແບບອໍໄລຕ່ອງໃນໂຕຮູ່ແຮງນິດອື່ນຫີ່ອຍາປົງກິຈີວິຍາທີ່ໃຫ້ໃນສັດວົດອື່ນໆ (Cooper et al. ,2007)

ຈຶ່ງໃນປັຈຈຸບັນໄດ້ມີການພັນນາຫຼຸດທດສອບເຊີງພາຣີ່ຫຼົງດ້ວຍຫັກການ ELISA ສຳຫັບຕົວຈິງ SEM ໃນຮູ່ປະບັບຂອງ NPSEM ຂອງມາຈຳນ່າຍໂດຍມີຫຼືການຕົວຈິງທຳການຕ້າວ່າ SEM ELISA TEST KITS ຜົດໂດຍບຣິ່ຈ້າ Shenzhen Lvsiyuan Biotechnology (China) ຈຶ່ງສາມາຮັດຕົວຈິງ SEM ໃນເນື້ອກັ້ງ ໄກ່ ປລາ ນມ ນໍ້າຝຶ້ງ ແລ້ໄກ່ໄກ່ ໂດຍສັກສາຣົກຄໍາງອອກຈາກເນື້ອສັດວົດດ້ວຍກຣດ

ไฮโดรคอริก และเปลี่ยนอนุพันธุ์สาร SEM ด้วย 2-Nitrobenzoic aldehyde (NBA) โดยพบว่าปริมาณต่ำสุดที่ตรวจวัดได้คือที่ 0.1 ppb และให้ค่าเบอร์เซนต์ของปฏิกิริยาข้ามกับสารในกลุ่มนี้ในตรีฟูแรนกับสาร AOZ AHD และ SEM เป็น 0.1 เบอร์เซนต์

#### 1.6 ประโยชน์ที่คาดว่าจะได้รับ

ได้ชุดลักษณะที่ผลิตไม่โคลนอลและติดต่อที่มีความจำเพาะต่อสาร SEM หรือ NPSEM

## 2. วิธีดำเนินการวิจัย (Materials & Method)

### 2.1 อุปกรณ์และสารเคมีที่ในการวิจัย

#### 2.1.1 เครื่องมือและอุปกรณ์ที่ใช้ในการวิจัย

หนูขาว (swiss mice) สายพันธุ์ BALB/c เพศเมีย	สำนักสัตว์ทดลองแห่งชาติ มหาวิทยาลัยมหิดล
เซลล์เม็ดเลือดขาว P3/NSI/1-4A4-1 (NSI)	ATCC No: TIB 18
กรอบกดเม็ดยาขนาด 1 และ 5 มิลลิลิตร	Nipro (Thailand)
กล้องจุลทรรศน์ชนิดหัวกลับ	Nikon (Japan)
ขวดแก้ว	Boro (Germany)
ขวดเดี่ยงเซลล์ขนาด 10 และ 250 มิลลิลิตร	Nunc (Denmark)
เข็มฉีดยาขนาด 18G, 21G และ 22G	Nipro (Thailand)
หลอดฉีดยาขนาด 1, 5 และ 10 มิลลิลิตร	Nipro (Thailand)
เครื่องซั่งน้ำหนัก AG204	Mettler Toledo (Switzerland)
เครื่องซั่งน้ำหนัก PG4002-5	Mettler Toledo (Switzerland)
เครื่องปั่นเหวี่ยง	MSE (England)
เครื่องมือนับเซลล์	Boeco (Germany)
เครื่องวัดความเป็นกรด-ด่าง	Mettler Toledo
เครื่อง Microtiterplate reader	Titertek multiskan (Finland)
จานชนิด 96 หลุมสำหรับเดี่ยงเซลล์	Nunc (Denmark)
จานชนิด 96 หลุมสำหรับ ELISA	Nunc (Denmark)
จานชนิด 24 หลุม	Nunc (Denmark)

ปีเปตแท็งก์	HBG (Germany)
ปีเปตอัตโนมัติ	Gilson (France)
ไนโครปีเปต	Biohit (Finland)
ปั๊มสูญญากาศ	Iwaki (Japan)
ตู้ปั๊มที่มีคาร์บอนไดออกไซด์	Revco, Yamato (Japan)
ตู้ปลอกเชือก	Cambrige (Thailand)
หลอดทดลองขนาด 1.5 มิลลิลิตร	Axygen (USA)
หลังอนึ่งผ่าเชือก	Udono-RII (Japan)
หลอดปั๊มเหวี่ยงขนาด 50 มิลลิลิตร	Nunc (Denmark)
อ่างน้ำควบคุมอุณหภูมิ	Memmert (Germany)

#### 2.1.2 สารเคมีที่ใช้ในการวิจัย

สารเคมี	บริษัท	ประเทศไทย
1-aminohydantoin (AHD)	Sigma-Aldrich	USA
1-(2-Nitrobenzylidenamino)-2, 4-imidazolidinedione (NPAHD)	Sigma-Aldrich	USA
1-Ethyl-3-(3-Dimethylaminopropyl)carbodiimide Hydrochloride (EDC)	Sigma-Aldrich	USA
2,4,6-Trinitrobenzene Sulfonic Acid (TNBS)	Pierce	USA
2-Nitrobenzaldehyde semicarbazone(NPSEM)	Sigma-Aldrich	USA

3-{[(2-nitrophenyl)methylene] amino}-2-oxazolidinone (NPAOZ)	Sigma-Aldrich	USA
3-amino-2-oxazolidinone (AOZ)	Sigma-Aldrich	USA
3-carboxybezaldehyde (CBA)	Sigma-Aldrich	USA
5-(Morpholinomethyl)-3-(2-nitrobenzylidenamino)-2-oxazolidinone (NPAMOZ)	Sigma-Aldrich	USA
5-morpholinomethyl-3-amino-oxazolidinone (AMOZ)	Sigma-Aldrich	USA
Acrylamide gel	Sigma-Aldrich	USA
Aminopterine	Sigma-Aldrich	USA
Bovine serum albumin (BSA)	Sigma-Aldrich	USA
Butanol	Merck	Germany
Chloramphenicol	Sigma-Aldrich	USA
Citric monohydrate	Merck	Germany
Clenbuterol	Sigma-Aldrich	USA
Copper sulfate	Fluka	Switzerland
D-glucose	Sigma-Aldrich	USA
Diethyl ether	Sigma-Aldrich	USA
Dimethyl sulfoxide	Fluka	Switzerland

Disodium carbonate	Fluka	Switzerland
Disodium hydrogen phosphate	Carlo erba	USA
Ethylenediamine (EDA)	Sigma-Aldrich	USA
Fetal bovine serum	Invitromex	USA
Folin-Ciocalteu Phenol reagent	Sigma-Aldrich	USA
Furazolidone	Sigma-Aldrich	USA
Hydrochloric acid	Sigma-Aldrich	USA
Hydrogen peroxide	Fluka	Switzerland
Hypoxanthine	Sigma-Aldrich	USA
L-glutamine	Sigma-Aldrich	USA
Methanol	BDH	England
N-hydroxysuccimide ester (NHS)	Fluka	Switzerland
Non-fat dry milk	Mission health food	Thailand
3,3',5,5'-Tetramethylbenzidine (TMB)	Sigma-Aldrich	USA
Ovalbumin (OVA)	Ovalbumin (OVA)	USA
Oxytetracycline	Fluka	Switzerland
Penicillin G	Sigma-Aldrich	USA
Peroxidase Goat anti-mouse IgG (H+L)	Jackson Immunoresearch	USA

Peroxidase-Rabbit Anti-Mouse IgG (Gamma chain Specific)	Zymed	USA
Polyethylene glycol (PEG)	Sigma-Aldrich	USA
Potassium chloride	Sigma-Aldrich	USA
Potassium dihydrogen phosphate	Sigma-Aldrich	USA
Pyridine	Carlo Erba	USA
Pyruvic acid	Invitromex	USA
RPMI 1640 medium	Invitromex	USA
Salbutamol	Sigma-Aldrich	USA
Semicarbazide (SEM)	Sigma-Aldrich	USA
Sodium bicarbonate	Sigma-Aldrich	USA
Sodium cabonate	Merck	Germany
Sodium chloride	Merck	Germany
Sodium dihydrogen phosphate	Carlo erba	USA
Sodium dodecyl sulphate	Merck	Germany
Sodium hydrogen carbonate	Merck	Germany
Sodium hydroxide	Merck	Germany
Sodium pyruvate	Sigma-Aldrich	USA
Streptomycin	Sigma-Aldrich	USA

Sulfamethazine	Sigma-Aldrich	USA
Sulfuric acid	Merck	Germany
Tetracyclin	Sigma-Aldrich	USA
Trisodium citrate	Fluka	Switzerland
Tween 20	Sigma-Aldrich	USA

## 2.2 การเตรียมแอนติเจนสำหรับฉีดกระตุนหนูทดลอง(CPSEM-BSA) และแอนติเจนสำหรับ

### เคลือบจาน 96 หลุม (CPSEM-OVA)

#### 2.2.1 การเปลี่ยนแปลงอนุพันธุ์ของสาร SEM เป็น CPSEM

นำ เชมิคาร์บَاไชด์ (semicarbazide; SEM) มาทำปฏิกิริยากับ 3-คาร์บอคซิเบนแซลไดไฮด์ (3-carboxybenzaldehyde; CBA) โดยวิธีการกลั่นไหหลักลับในไฟรีดีนปราศจากน้ำที่อุณหภูมิ 37 องศาเซลเซียส เป็นเวลา 16 ชั่วโมง จากนั้นตรวจสอบผลิตภัณฑ์ที่ได้คือ 3-[(3-carboxyphenyl) methylene]-hydrazinecarboxamide (CPSEM) โดยวิธี thin layer chromatography (TLC) ใช้ 10 เปรอร์เซนต์ เมทานอล ใน คลอโรฟอร์ม เป็นโนบายเฟส ทำให้แห้งโดยใช้แก๊สในต่อเจน ตรวจสอบความบริสุทธิ์ของสารที่สังเคราะห์ได้โดยใช้วิธี TLC ดูແບບของสาร CPSEM ด้วยแสงญวี และดูແບບของสาร SEM โดยย้อมด้วยสารละลายบินน์ไฮดริน

#### 2.2.2 การเชื่อมต่อ CPSEM กับ BSA และ CPSEM กับ OVA

ทำการเชื่อมสาร CPSEM กับ BSA ได้เป็น CPSEM-BSA ใช้เป็นแอนติเจนสำหรับฉีดกระตุนภูมิคุ้มกันของหนูทดลอง และทำการเชื่อมสาร CPSEM กับ OVA ได้เป็น CPSEM-OVA เพื่อนำไปเคลือบจานชนิด 96 หลุม (96 wells plate) สำหรับใช้หาระดับแอนติบอดีในชีรัมและคัดเลือกโคลนที่ผลิตไม่ในโคลนอื่นแอนติบอดี โดยนำสาร CPSEM ละลายใน DMF เติม EDC หลังจากนั้นค่อยๆเติม BSA หรือ OVA ที่ละลายในบัฟเฟอร์ 0.1 มิลลาร์ ฟอสเฟตบัฟเฟอร์ พีเอช 7.4 จำนวนเบาๆ ตั้งที่อุณหภูมิห้อง เป็นเวลา 2 ชั่วโมง นำไป dialysis เป็นเวลา 3 วัน แล้วจึงนำสารละลายที่ได้ไปหาบวิมานโปรตีนด้วยวิธีการ BCA Protein Assay Kit และหาเบอร์เซนต์ของการเชื่อมติดสาร CPSEM-BSA และ CPSEM-OVA ด้วยวิธี TNBS

## 2.3 การกระตุ้นภูมิคุ้มกันของหนูทดลองให้สร้างแอนติบอดีต่อสาร SEM และ NPSEM

### 2.3.1 การฉีดกระตุ้นหนูทดลอง

ทำการฉีดกระตุ้นภูมิคุ้มกันของหนูทดลองสายพันธุ์ BALB/c เพศเมีย อายุ 8 สัปดาห์ ด้วยแอนติเจนที่เตรียมได้จากข้อ 2.1.2 (CPSEM-BSA) ซึ่งการฉีดกระตุ้นครั้งแรก (Immunization) จะใช้แอนติเจนปริมาณ 50 ไมโครกรัม (ต่อหนู 1 ตัว) ผสมกับ Freund's complete adjuvant (FCA) โดยฉีดเข้าภายในช่องท้องหนู และทำการฉีดกระตุ้นซ้ำอีก 4-6 ครั้ง ทุกๆ 2 อาทิตย์ โดยผสมแอนติเจนกับ Freund's incomplete adjuvant (FICA) จากนั้นประมาณ 7-10 วัน ทำการเจาะเลือดหนูจากปลายหางเพื่อแยกชีรัมมาทดสอบด้วยดับแอนติบอดี (antibody titer) ด้วยวิธี Indirect ELISA ถ้าระดับแอนติบอดียังอยู่ในระดับต่ำ ก็ฉีดกระตุ้นซ้ำด้วยวิธีการเดิมทุกๆ 2 อาทิตย์ เมื่อระดับแอนติบอดีสูงมากพอ ทำการฉีดกระตุ้นครั้งสุดท้าย ด้วยแอนติเจนที่ผสมกับน้ำเกลือเข้าช่องท้องในปริมาณ 50 ไมโครกรัมต่อหนูทดลองหนึ่งตัว ก่อนทำการหลอมรวมเซลล์ 3 วัน ถัดไป

### 2.3.2 การทดสอบแอนติบอดี โดยวิธี indirect ELISA

ทำการเคลือบหลุมของจาน ELISA ชนิด 96 หลุม ด้วยแอนติเจน CPSEM-OVA ความเข้มข้น 0.5 ไมโครกรัมต่อมิลลิลิตร หลุมละ 100 ไมโครลิตร บ่มที่อุณหภูมิ 4 องศาเซลเซียส เป็นเวลา 12 ชั่วโมง นำมาล้างด้วย PBS พีเอช 7.4 ที่มี tween 20 ความเข้มข้น 0.05 เบอร์เซนต์ (น้ำหนักต่อปริมาตร) (PBS-T) จำนวน 3 ครั้ง เติมสารละลายนมพร่องมันเนย (skim milk) ความเข้มข้น 5 เบอร์เซนต์ (น้ำหนักต่อปริมาตร) ใน PBS หลุมละ 300 ไมโครลิตร บ่มที่อุณหภูมิ 37 องศาเซลเซียส เป็นเวลา 1 ชั่วโมง ล้างด้วย PBS-T จำนวน 3 ครั้ง เติมตัวอย่าง (ชีรัมหนู หรือ อาหารเลี้ยงเซลล์) หลุมละ 100 ไมโครลิตร บ่มที่อุณหภูมิ 37 องศาเซลเซียส เป็นเวลา 2 ชั่วโมง ล้างด้วย PBS-T จำนวน 3 ครั้ง เติมแอนติบอดีทุติยภูมิ goat anti mouse IgG ที่มีเอนไซม์ horseradish peroxidase เชื่อมติดอยู่ (GAM-HRP) หลุมละ 100 ไมโครลิตร บ่มที่อุณหภูมิ 37 องศาเซลเซียส เป็นเวลา 1 ชั่วโมง ล้างด้วย PBS-T จำนวน 3 ครั้ง เติมสารละลายน้ำสีบลูสเตรตของเอนไซม์ HRP ซึ่งประกอบด้วย 3,3',5,5'-Tetramethylbenzidine (TMB) และ  $H_2O_2$  ละลายน้ำใน 205 มิลลิโมลาร์ potassium citrate buffer ,พีเอช 4.0 หลุมละ 100 ไมโครลิตร บ่มในที่มีดี อุณหภูมิห้อง เป็นเวลา 15 นาที เติม 1 ไมลาร์  $H_2SO_4$  หลุมละ 100 ไมโครลิตร เพื่อยุดปฏิกิริยาเอนไซม์ แล้วนำจานทดสอบชนิด 96 หลุม ไปวัดค่าดูดกลืนแสงที่ความยาวคลื่น 450 นาโนเมตร

### 2.3.3 การทดสอบความจำเพาะของแอนติบอดีต่อ SEM และ NPSEM ในชีรัม โดยวิธี Indirect competitive ELISA

นำชีรัมหนูมาทดสอบดูว่าหนูมีแอนติบอดีต่อสาร NPSEM หรือไม่ ถ้าหนูมีแอนติบอดีต่อ SEM และ NPSEM แอนติบอดีที่อยู่ในชีรัมจะจับกับ SEM และ NPSEM ที่อยู่ในรูปอิสระ ทำให้ค่าดูดกลืนแสงลดลงเมื่อเทียบกับชีรัมที่ไม่

มี SEM และ NPSEM โดยเตรียมสาร SEM NPSEM และ BSA ที่ความเข้มข้นระดับต่างๆ นำแต่ละความเข้มข้นมาผสานกับชิ้นหมุนที่เจือจากใน PBS โดยผสมกันในอัตราส่วน 1:1 (ปริมาตรต่อปริมาตร) แล้วทำการทดสอบด้วยวิธี Indirect ELISA

#### 2.4 การเตรียมเซลล์ในโคลนอลแอนติบอดีที่จำเพาะต่อสาร SEM และ NPSEM

##### 2.4.1 การหลอมรวมเซลล์ (cell fusion หรือ hybridization)

โดยนำเซลล์ม้ามของหมูที่ถูกกระด้วยระบบภูมิคุ้มกันด้วยแอนติเจน CPSEM-BSA และสร้างแอนติบอดีที่ต้องการ และเซลล์มัยคีโนมา ในอัตราส่วน 1:2 โดยที่เซลล์ทั้งสองจะถูกนำมาเลี้ยงให้อยู่ในระยะที่กำลังจะแบ่งตัว มาจุนกันในหลอดฝ่าแกเลีย ขนาด 50 แล้วค่อยๆ หยด 50 เบอร์เซนต์ พอลิเอทิลีนไกลคอล (น้ำหนักต่อปริมาตร) ปริมาณ 1 มิลลิลิตร ลงไปในตะกอนเซลล์พร้อมกับหมูนหลอดหัวใจ จากนั้นเติมอาหารเลี้ยงเซลล์ RPMI 1640 ที่มี 10 เบอร์เซนต์ FCS เพื่อถัง 50 เบอร์เซนต์ PEG ออกให้หมด ก่อนนำไปปั่นเร่งที่ความเร็ว 1000 รอบต่อนาที นาน 5 นาที เพื่อแยกตะกอนเซลล์ออก โดยการเทส่วนใสทั้ง ทำเช่นนี้ 2 ครั้ง และเติมอาหารเลี้ยงเซลล์ HAT ที่มี 20 เบอร์เซนต์ FCS ก่อนนำเซลล์ไปหยดในจานเลี้ยงเซลล์ชนิด 96 หลุม จากนั้นนำไปเลี้ยงในตู้บ่มอุณหภูมิ 37 องศาเซลเซียส ที่มี 5 เบอร์เซนต์ CO<sub>2</sub>

##### 2.4.2 การเลี้ยงและการคัดเลือกเซลล์ไซบริโภมากหลังการหลอมรวมเซลล์

ภายหลังการหลอมรวมเซลล์แล้วเติมอาหารเลี้ยงเซลล์ HAT ที่มี 20 เบอร์เซนต์ FCS ทุก 3-4 วัน และเมื่อผ่านไปแล้ว 6-7 วัน สร้างเกตเซลล์ไซบริโภมากในแต่ละหลุมโดยใช้กล้องจุลทรรศน์ชนิดหักกลับ (inverted microscope) จะเห็นโคลนของเซลล์ไซบริโภมากมีลักษณะกลม丸และโปร่งแสงซึ่งเป็นกลุ่ม เมื่อเติมอาหารเลี้ยงเซลล์เติมหลุมแล้วจะต้องเปลี่ยนอาหารในหลุมโดยจะให้อาหารเลี้ยงเซลล์ HAT ที่มี 20 เบอร์เซนต์ FCS ประมาณ 3 สัปดาห์ จากนั้นจึงเปลี่ยนเป็นอาหารเลี้ยงเซลล์ HT ที่มี 20 เบอร์เซนต์ FCS โดยจะสร้างเกตการเปลี่ยนแปลงของสีอาหารเลี้ยงเซลล์ถ้ามีสีเหลืองให้ดูดอาหารเลี้ยงเซลล์เก่าทึ้งแล้วเติมอาหารใหม่ลงไป เมื่อพบว่าเซลล์ไซบริโภมากเจริญได้ประมาณ 2/3 ของพื้นที่ก้นหลุมให้นำอาหารเลี้ยงเซลล์มาตรวจหาแอนติบอดีโดยวิธี Indirect ELISA

##### 2.4.3 การตรวจหาเซลล์ไซบริโภมากที่ผลิตแอนติบอดีต่อ NPSEM ในรูปอิสระ โดยวิธี indirect competitive ELISA

นำแอนติบอดีในอาหารเลี้ยงเซลล์ไซบริโภมากซึ่งให้ผลบวก โดยวิธี indirect ELISA (ตามข้อ 2.3.2) มาทดสอบการจับกับ NPSEM ในรูปอิสระ ด้วยวิธี indirect competitive ELISA โดยทำการเคลือบจานทดสอบ 96 หลุม ด้วยแอนติเจน CPSEM-OVA ความเข้มข้น 0.5 ไมโครกรัมต่อเมลลิลิตร ปริมาตร 100 ไมโครลิตรต่อหลุม บ่มที่อุณหภูมิ 4 องศาเซลเซียส ทิ้งไว้ข้ามคืน ล้างจานทดสอบ จำนวน 3 ครั้ง ด้วย PBS ที่เติม tween 20 ความเข้มข้น 0.01 เบอร์เซนต์ เติม

สารละลายน PNSEM ความเข้มข้น 20 ไมโครกรัมต่อมิลลิลิตร ปริมาตร 50 ไมโครลิตร พร้อมกับอาหารเลี้ยงเซลล์ที่ทำการทดสอบ ปริมาตร 50 ไมโครลิตร เปรียบเทียบกับหลุมที่เติม PBS และอาหารเลี้ยงเซลล์ บ่มที่อุณหภูมิ 37 องศาเซลเซียส เป็นเวลา 2 ชั่วโมง ทำการล้างจากทดสอบ จากนั้นเติม goat anti mouse IgG-HRP ที่การเจือจาง 1:10,000 ปริมาตร 100 ไมโครลิตรต่อหลุม บ่มที่อุณหภูมิ 37 องศาเซลเซียส เป็นเวลา 1 ชั่วโมง ล้างจากหลุมทดสอบ เติมสารละลายสับสเตรท TMB ปริมาตร 100 ไมโครลิตรต่อหลุม บ่มที่อุณหภูมิห้องในที่มีดี เป็นเวลา 15 นาที หยุดปฏิกิริยาด้วย 1 มอลาร์  $H_2SO_4$  ปริมาตร 100 ไมโครลิตรต่อหลุม วัดค่าการดูดกลืนแสงที่ความยาวคลื่น 450 นาโนเมตร คัดเลือกเซลล์ไฮบริดomaที่ผลิตแอนติบอดีต่อ CPSEM ในรูปอิสระ โดยหลุมที่เติม CPSEM จะให้ค่าการดูดกลืนแสงที่ต่างกว่าหลุมที่เติม PBS จากนั้นนำเซลล์ไฮบริดomaที่ได้ย้ายลงในจานเลี้ยงเซลล์ชนิด 24 หลุม และทำการแยกเซลล์ไฮบริดomaให้ได้เซลล์เดียว โดยวิธี limiting dilution ในจานเลี้ยงเซลล์ 96 หลุม เมื่อเซลล์มีการเจริญและผลิตแอนติบอดี ทำการทดสอบว่าเซลล์ไฮบริดomaยังคงผลิตแอนติบอดีต่อ NPSEM และเก็บเซลล์ที่เลี้ยงในจานเลี้ยงเซลล์ 24 หลุม แข็งไว้ที่อุณหภูมิ -70 องศาเซลเซียส

#### 2.4.4 การแยกเซลล์ไฮบริดomaให้ได้เซลล์เดียว (single cell cloning) โดยการทำให้เจือจางด้วยวิธี limiting dilution

หลังจากที่คัดเลือกจนได้เซลล์ไฮบริดoma (hybridoma cell) ที่ต้องการแล้วเพื่อให้มั่นใจว่าเซลล์ที่แบ่งตัวเพิ่มขึ้นแต่ละเซลล์มีต้นกำเนิดจากเซลล์เดียว ซึ่งวิธี limiting dilution ทำได้โดยนำเซลล์ไฮบริดomaจากหลุมที่ได้ตรวจสอบแล้วว่าผลิตแอนติบอดีต่อ NPSEM มาเจือจางในอาหารเลี้ยงเซลล์ RPMI 1640 ที่มี 20 เปอร์เซนต์ FCS โดยปรับความเจือจางของเซลล์ไฮบริดomaให้เท่ากับ 40 เซลล์ต่อมิลลิลิตร ก่อนนำมาเจือจางแบบ 2 เท่า จนได้ความเจือจางของเซลล์ไฮบริดomaเท่ากับ 5 เซลล์ต่อมิลลิลิตร จากนั้นนำเซลล์ไฮบริดomaในแต่ละความเจือจางไปหยดลงในจานชนิด 96 หลุมจำนวนความเจือจางละ 2 แท่ง (24 หลุม) จะได้เซลล์ไฮบริดomaประมาณ 8 เซลล์ 4 เซลล์ 2 เซลล์ และ 1 เซลล์ ต่อหลุม ตามลำดับ นำไปเลี้ยงในตู้บ่มอุณหภูมิ 37 องศาเซลเซียส บรรยายกาศ  $CO_2$  5 เปอร์เซนต์ ประมาณ 14 วัน ก่อนตรวจดูว่ายกลั่งจากหลุมที่ได้ทำเครื่องหมายไว้แล้วไปตรวจหาแอนติบอดีอีกครั้งด้วยวิธี indirect ELISA ก่อนนำเซลล์จากหลุมที่ให้ผลบวกมาทำการโคลนเซลล์ซ้ำอีกเป็นครั้งที่ 2 และ 3 เพื่อให้แน่ใจว่าเซลล์ที่ได้มาจากเซลล์ไฮบริดomaที่มาจากต้นกำเนิดจากเซลล์ลูกผสมเริ่มต้นเซลล์เพียงเซลล์เดียว

### 2.5 การศึกษาลักษณะเบื้องต้นของโมโนโคลนอลแอนติบอดี

#### 2.5.1 การหาความเข้มข้นของแอนติเจนและแอนติบอดีที่เหมาะสม โดยวิธี indirect ELISA

เนื่องจากโมโนโคลนอลแอนติบอดีที่ผลิตได้จากเซลล์ไฮบริดomaที่เลี้ยงในขาดเลี้ยงเซลล์มีความเข้มข้นมากเมื่อนำไปใช้ทดสอบด้วยวิธี ELISA จะทำให้มีสัญญาณรบกวนส่งผลให้เกิดผลบวกเท็จได้ และยังเป็นการสิ้นเปลืองแอนติเจน

และแอนติบอดีด้วย จึงต้องหาความเข้มข้นและความเจือจางที่เหมาะสมทั้งของแอนติเจนและแอนติบอดี ที่ให้ค่าการดูดกลืนแสงที่ 450 นาโนเมตร ประมาณ 1.0 เพื่อนำความเข้มข้นและความเจือจางที่ได้นี้ไปใช้สำหรับการทดสอบคุณสมบัติต่างๆ ของโมโนโคลนอลแอนติบอดีต่อไป ซึ่งจะทำการเคลือบจานทดสอบ ELISA ชนิด 96 หลุมด้วย แอนติเจน CPSEM-OVA ความเข้มข้นต่างๆ และเจือจางโมโนโคลนอลแอนติบอดีด้วย PBS แล้วทำการทดสอบด้วยวิธี Indirect ELISA

### 2.5.2 การทดสอบความไวของโมโนโคลนอลแอนติบอดี ด้วยวิธี Indirect competitive ELISA

การทดสอบความไว (sensitivity) ของโมโนโคลนอลแอนติบอดีต่อสารเมแทบอัลเดอร์ SEM ,NPSEM และทดสอบปฏิกิริยาข้ามกับสารในและนอกกลุ่มในตรफูแรนเพื่อทดสอบคุณสมบัติของโมโนโคลนอลแอนติบอดีที่ได้มีความจำเพาะและความไวต่อสาร SEM ,NPSEM ประมาณเท่าไหร และเกิดปฏิกิริยาข้ามกับสารในและนอกกลุ่มในตรฟูแรนชนิดอื่นหรือไม่ จึงทดสอบด้วยวิธี Indirect competitive ELISA ถ้าโมโนโคลนอลแอนติบอดีมีความจำเพาะต่อสารดังกล่าว ก็จะทำปฏิกิริยาข้ามกับสารดังกล่าวที่อยู่ในรูปอิสระ ทำให้ค่าดูดกลืนแสงลดลงเมื่อเทียบกับโมโนโคลนอลแอนติบอดีที่ไม่ได้นำสารดังกล่าวมาทำปฏิกิริยา ทดสอบด้วยวิธี Indirect ELISA โดยจะคิดเป็นค่า inhibition concentration ( $IC_{50}$ ) และ limit of detection (LOD) ซึ่งค่า  $IC_{50}$  คือ ค่าความเข้มข้นของสารที่ทำให้ค่าดูดกลืนแสงในการทำ competitive indirect ELISA ลดลงครึ่งหนึ่ง เมื่อเทียบกับที่ไม่มีสารแข่งขัน และค่า LOD คือ ค่าความเข้มข้นของสารที่น้อยที่สุดที่สามารถตรวจวัดได้

### 2.5.3 การตรวจสอบไอกโซไทป์ของโมโนโคลนอลแอนติบอดี

จะทำการตรวจหาไอกโซไทป์ของโมโนโคลนอลแอนติบอดี โดยใช้ชุดทดสอบไอกโซไทป์ (isotyping kit) ของบริษัท Sigma-Aldrich โดยนำ Isotyping specific antibody ชนิด IgG<sub>1</sub> ,IgG<sub>2a</sub> ,IgG<sub>2b</sub> ,IgG<sub>3</sub> ,IgA และ IgM มาทำการเจือจางใน PBS นำไปเติมในจานทดสอบ ELISA ชนิด 96 หลุม หลุ่มละ 100 ไมโครลิตร บ่มที่อุณหภูมิ 37 องศาเซลเซียส เป็นเวลา 1 ชั่วโมง นำมาล้างด้วย PBS (พีเอช 7.4) ที่มี 0.05 เบอร์เซนต์ Tween 20 (PBS-T) จำนวน 3 ครั้ง เติมน้ำเลี้ยงเซลล์โมโนโคลนอลแอนติบอดีจากโคลนต่างๆ ที่ต้องการตรวจสอบ บ่มที่ 37 องศาเซลเซียส เป็นเวลา 1 ชั่วโมง จากนั้nl ล้างส่วนที่ไม่จับออก เติมแอนติบอดีทุกตัวที่จำเพาะต่อ mouse IgG ที่มี HRP เชื่อมอยู่ ซึ่งจำเพาะต่อ F<sub>ab</sub> (HRP-Rabbit anti-mouse IgG [F<sub>ab</sub> specific]) และนำไปบ่มที่อุณหภูมิห้อง เป็นเวลา 30 นาที จากนั้nl นำมาล้างด้วย PBS-T จำนวน 3 ครั้ง เติมสารละลายสับ

สเตราทของเอนไซม์ บ่มอุณหภูมิห้องในที่มีด เป็นเวลา 10-15 นาที หยดปฏิกิริยาเอนไซม์ จากนั้nl นำไปวัดค่าการดูดกลืนแสงที่ความยาวคลื่น 450 นาโนเมตร

## 2.6 การเตรียมแอนติบอดีและทำให้บริสุทธิ์

### 2.6.1 การเลี้ยงเซลล์และการเพิ่มจำนวนเซลล์ในภาชนะเลี้ยงเซลล์

นำเซลล์ไอยูโรโคลนที่ผลิตแอนติบอดีที่มีความจำเพาะต่อ SEM และ NPSEM มาเลี้ยงเพิ่มจำนวนในอาหารเลี้ยงเซลล์ RPMI 1640 ที่มี FCS 10 เปอร์เซ็นต์ โดยปริมาตร ในขวดเลี้ยงเซลล์ปริมาตร 10 มิลลิลิตร เลี้ยงที่อุณหภูมิ 37 องศาเซลเซียส ในตู้เพาะเลี้ยงเซลล์ควบคุมระดับคาร์บอนไดออกไซด์ที่ 5 เปอร์เซ็นต์ เป็นเวลา 2 วัน จากนั้นถ่ายลงภาชนะปริมาตร 50 มิลลิลิตร เลี้ยงที่อุณหภูมิ 37 องศาเซลเซียส ในตู้เพาะเลี้ยงเซลล์ควบคุมระดับคาร์บอนไดออกไซด์ที่ 5 เปอร์เซ็นต์ เป็นเวลา 2 วัน แล้วทำการรยาดเซลล์ลงขวดเลี้ยงเซลล์ที่มีการปั่นวนขนาด 1 ลิตร ปริมาตร 600 มิลลิลิตร ปั่นวนด้วยความเร็ว 20 รอบต่อนาที เลี้ยงที่อุณหภูมิ 37 องศาเซลเซียส ในตู้เพาะเลี้ยงเซลล์ควบคุมระดับคาร์บอนไดออกไซด์ที่ 5 เปอร์เซ็นต์ เลี้ยงเซลล์เป็นเวลา 7-10 วัน จนกระทั่งได้ปริมาณแอนติบอดีมากพอ จากนั้นจึงแบ่งใส่หลอดน้ำไปปั่นเหวี่ยงให้เซลล์ตกตะกอนที่ความเร็ว 1500 รอบต่อนาที เป็นเวลา 5 นาที แล้วแยกส่วนของเซลล์ที่ตกตะกอนทิ้งไป เก็บส่วนของอาหารเลี้ยงเซลล์ซึ่งมีแอนติบอดีไว้ เพื่อนำแอนติบอดีที่ได้ไปทำให้บริสุทธิ์ต่อไป

### 2.6.2 การทำแอนติบอดีให้บริสุทธิ์โดยวิธี protein A หรือ protein G affinity chromatography

นำโมโนโคลนอลแอนติบอดีที่มีความจำเพาะต่อ SEM และ NPSEM โดยจะใช้ protein A หรือ protein G sepharose ขึ้นอยู่กับไอโซไทป์ของแอนติบอดีที่ได้ โดยนำโปรตีน A หรือ G sepharose แขวน PBS ที่อุณหภูมิห้อง แล้วนำไปใส่คอลัมน์ ปรับคอลัมน์ให้อยู่ในสภาพสมดุลโดยเติม 0.1 มิลลิาร์ phosphate buffer, พีเอช 8 ปริมาตร 5 เท่าของคอลัมน์ นำอาหารเลี้ยงเซลล์ที่ได้เติมลงในคอลัมน์โดยให้มีอัตราการไหลเท่ากับ 1 มิลลิลิตรต่อนาที ล้างคอลัมน์ด้วย 0.1 มิลลิาร์ phosphate buffer, พีเอช 8.0 ปริมาตร 5 เท่าของคอลัมน์ จากนั้นจึงซับแอนติบอดีออกโดยใช้ 0.1 มิลลิาร์ citrate buffer, พีเอช 3.0 ปริมาตร 3 เท่าของคอลัมน์ ให้มีอัตราการไหลเท่ากับ 1 มิลลิลิตรต่อนาที พร้อมกับเก็บสารละลายที่ออกจากคอลัมน์ใส่หลอดทดลอง หลอดละ 1 มิลลิลิตร และปรับพีเอช สารละลายในหลอดทดลองให้เป็น 7.4 โดยใช้ 1 มิลลิอาร์ Tris buffer ,พีเอช 9.0 ปรับคอลัมน์ให้อยู่ในสภาพสมดุลโดยเติม 0.1 มิลลิาร์ phosphate buffer ,พีเอช 8.0 ปริมาตร 5 เท่าของคอลัมน์ หลังจากนั้นนำสารละลายในหลอดทดลองแต่ละหลอดไปวัดค่ากรดคูลินแสงที่ความยาวคลื่น 280 นาโนเมตร ด้วยเครื่องสเปกโทรฟิโตเมตอร์ แล้วเก็บสารละลายในหลอดที่ให้ค่ากรดคูลินแสงสูงมารวบกันนำไปได้โดยทันที PBS ที่อุณหภูมิ 4 องศาเซลเซียสโดยเปลี่ยน PBS 5 ครั้ง ทุก ๆ 6 ชั่วโมง

### 2.6.3 การทดสอบความจำเพาะของแอนติบอดีหลังการทำให้บริสุทธิ์ต่อ SEM และ NPSEM ในรูปอิสระ

หลังจากทำโมโนโคลนอลแอนติบอดีให้บริสุทธิ์ ได้ทำการทดสอบว่าโมโนโคลนอลแอนติบอดีที่ได้ยังมีความสามารถในการจับกับ SEM และ NPSEM ในรูปอิสระอยู่หรือไม่ โดยวิธี indirect competitive ELISA ซึ่งมีวิธีการทดสอบ

คือ เคลือบพื้นผิวของงาน 96 หลุม ด้วย CPSEM ที่เชื่อมต่อกับ OVA หลุ่มละ 100 ไมโครลิตร แล้วปั่นที่อุณหภูมิ 4 องศาเซลเซียส เป็นเวลา 12-16 ชั่วโมง นำแต่ละหลุมมาล้างด้วย PBST 3 ครั้ง เติมสารละลาย BSA 1 เปอร์เซนต์ หลุ่มละ 300 ไมโครลิตร ปั่นที่อุณหภูมิ 37 องศาเซลเซียส เป็นเวลา 1 ชั่วโมง ล้างหลุ่มด้วย PBST 3 ครั้ง เติม SEM และ NPSEM ในรูปอิสระ ที่ความเข้มข้นต่างๆ ลงไป 50 ไมโครลิตร และแอนติบอดี หลุ่มละ 50 ไมโครลิตร นำไปปั่นที่ 37 องศาเซลเซียส นาน 2 ชั่วโมง ล้างแต่ละหลุมด้วย PBST 3 ครั้ง เติมแอนติบอดีทุติยภูมิที่จำเพาะต่อแอนติบอดีของหนู เชื่อมอยู่กับ HRP (HRP-labelled goat anti-mouse IgG) ที่เจือจาง 1:5,000 ใน PBS หลุ่มละ 100 ไมโครลิตร แล้วปั่นที่ 37 องศาเซลเซียส 1 ชั่วโมง ล้างหลุ่ม ด้วย PBST 3 ครั้ง เติมสารละลายสับสเตรต ของเอนไซม์ ประกอบด้วย TMB และ  $H_2O_2$  ละลายใน 205 มิลลิโนลาร์ potassium citrate buffer ,พีเอช 4.0 หลุ่มละ 100 ไมโครลิตร ปั่นในที่มีด อุณหภูมิห้อง เป็นเวลา 15 นาที เติม 1 มิลลิ  $H_2SO_4$  หลุ่มละ 100 ไมโครลิตร เพื่อหยุดปฏิกิริยาเอนไซม์ และนำไปวัดค่าการดูดกลืนแสงที่ความยาวคลื่น 450 นาโนเมตร ด้วยเครื่อง ELISA microplate reader

### 3. ผลการวิจัย (Results)

#### 3.1 การเตรียมแอนติเจนสำหรับฉีดกระตุ้นหนูทดลอง (CPSEM-BSA) และแอนติเจนสำหรับ

##### เคลือบจาน 96 หลุม (CPSEM-OVA)

เนื่องจากสาร SEM ซึ่งเป็นสารเมแทปอยาล์ของไนโตรฟูราเซน ไม่เกิดข้องสารมีขนาดเล็ก ไม่สามารถกระตุ้นระบบ

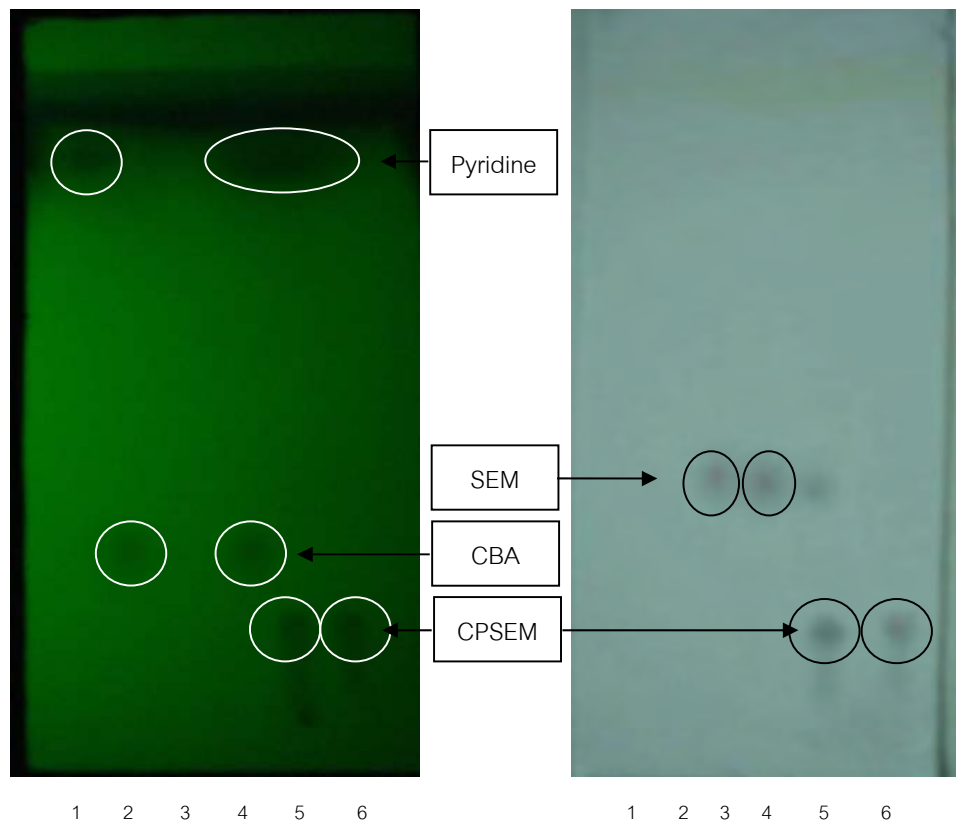
ภูมิคุ้มกันของหนูให้สร้างแอนติบอดีได้ และไม่สามารถเคลือบหลุมในการทดสอบ ELISA ได้อีกด้วย จึงต้องทำการเชื่อมติดสารเข้ากับโปรตีนพาหะ BSA หรือ OVA แต่เนื่องจากโครงสร้างของ SEM มีโครงสร้างไม่พร้อมจับกับโปรตีน จึงต้องเปลี่ยน SEM ให้อยู่ในรูปอนุพันธ์ CPSEM และจึงนำมาเชื่อมต่อกับโปรตีน BSA หรือ OVA

###### 3.1.1 การเปลี่ยนแปลงอนุพันธ์ของสาร SEM ให้เป็น CPSEM

จากการนำสาร SEM และสารผลิตภัณฑ์ที่ได้จากปฏิกิริยาทางทดสอบด้วยวิธี thin layer chromatography ผลปรากฏดังแสดงในรูปที่ 1 จากการดูโครงมาโทแกรมภายใต้แสงอัลตราไวโอเลตที่ความยาวคลื่น 254 นาโนเมตร พบว่า เห็นแถบของสาร Pyridine ในช่องที่ 1 ซึ่งเป็นสารตัวกลางช่วยทำให้เกิดปฏิกิริยา ,ช่องที่ 2 เป็นแถบของ CBA ,ช่องที่ 4 เป็นแถบของสารผสมก่อน derivatization ,ช่องที่ 5 และ 6 เป็นแถบของสาร CPSEM หลังทำปฏิกิริยา ส่วนสาร SEM ในช่องที่ 3 นั้นไม่สามารถมองเห็นได้ ดังนั้นจึงต้องย้อมแผ่น TLC ด้วยสารละลายนินไอกวิน ปรากฏแถบของ SEM ในช่องที่ 3 ,4 และ 5 เป็น SEM ที่เหลือบางส่วน ส่วนช่องที่ 5 และ 6 เป็นแถบของ CPSEM

ภาษาไทยแสดงอัลตราไวโอลেตที่ความยาวคลื่น 254 นาโนเมตร

ข้อมูลด้วยสารละลายนินไอกวิน



รูปที่ 1 โครงมาโทแกรมจากการวิเคราะห์ด้วย TLC ของสารต่างๆในการสังเคราะห์ CPSEM เมื่อดูภายใต้แสงอัลตราไวโอลেตที่ความยาวคลื่น 254 นาโนเมตร และข้อมูลด้วยสารละลายนินไอกวิน

ช่องที่ 1 = pyridine

ช่องที่ 4 = ตัวอย่างก่อนรีฟลักช์

ช่องที่ 2 = CBA

ช่องที่ 5 = ตัวอย่างหลังรีฟลักช์

ช่องที่ 3 = SEM

ช่องที่ 6 = ตัวอย่างหลังรีฟลักช์และทำให้แห้ง

### 3.1.2 การเชื่อมต่อ CPSEM กับ BSA และ CPSEM กับ OVA

จากการเชื่อมต่อ CPSEM กับ BSA และ CPSEM กับ OVA ด้วยสาร EDC หลังจากทำปฏิกิริยา นำ CPSEM-BSA และ CPSEM-OVA มาตรวจวัดปริมาณโปรตีนโดยวิธี BCA เทียบกับโปรตีน BSA มาตรฐานพบว่า CPSEM-BSA และ CPSEM-OVA ที่เตรียมได้มีปริมาณโปรตีนเท่ากับ 1.63 และ 2.53 มิลลิกรัมต่อมิลลิลิตร ตามลำดับ จากนั้นตรวจหา เปอร์เซนต์การเชื่อมติดของสารกับโปรตีน โดยวิธี TNBS ได้ผลดังแสดงในตารางที่ 1 พบว่า เมื่อตรวจ BSA และ OVA ที่ความเข้มข้น 1 มิลลิกรัมต่อมิลลิลิตร มีค่าการดูดกลืนแสงที่ความยาวคลื่น 335 นาโนเมตร เท่ากับ 0.878 และ 0.585 ตามลำดับ สำหรับ CPSEM-BSA และ CPSEM-OVA มีค่าการดูดกลืนแสง เท่ากับ 0.674 และ 0.543 ตามลำดับ และเมื่อทำการคำนวณตามสูตร [(ค่าการดูดกลืนแสงของโปรตีน – ค่าการดูดกลืนแสงของสารติดกับโปรตีน) / ค่าการดูดกลืนแสงของ โปรตีน] X 100 ซึ่งสามารถคิดเป็นค่าเปอร์เซนต์การเชื่อมติดเป็น 23.23 และ 7.18 เปอร์เซนต์ ตามลำดับ

ตารางที่ 1 ค่าเปอร์เซนต์การเชื่อมติดระหว่าง CPSEM กับ BSA และ OVA ที่ความเข้มข้น 1 มิลลิกรัมต่อมิลลิลิตร

สาร	ค่าการดูดกลืนแสงที่ความยาวคลื่น 335 นาโนเมตร	เปอร์เซนต์การเชื่อมติด
BSA	0.878	-
OVA	0.585	-
CPSEM-BSA	0.674	23.23
CPSEM-OVA	0.543	7.18

### 3.2 การฉีดกระตุ้นภูมิคุ้มกันของหนูทดลองให้สร้างแอนติบอดี

ทำการฉีดกระตุ้นหนูทดลองสายพันธุ์ BALB/c เพศเมีย อายุ 8 สัปดาห์ ด้วย CPSEM-BSA ปริมาณสาร 50 μg/ครั้งโดยครั้งแรกผสมแอนติเจนกับ Freund's complete adjuvant (FCA) ฉีดเข้าภายในช่องท้องหนู และทำการฉีดกระตุ้นข้ามๆ 2 สัปดาห์ จำนวน 4 – 6 ครั้ง โดยผสมแอนติเจนกับ Freund's incomplete adjuvant (FICA) หลังฉีดกระตุ้น 7 -10 วัน ทำการเจาะเลือดหนูแยกชีรัมมาทดสอบระดับแอนติบอดี (antibody titer) ด้วยวิธี indirect ELISA โดยเคลือบplatum ด้วย CPSEM-OVA และเจือจากชีรัมหนูด้วย 1 เปอร์เซนต์ BSA/PBS โดยเจือจากที่ความเข้มข้น 1:500 ถึง 1:256,000 เท่า จากการฉีดกระตุ้นหนูจำนวน 3 ตัว และทดสอบหาปริมาณแอนติบอดีในชีรัมหนูได้ผลดังตารางที่ 2 ชีรัมหนูทั้ง 3 ตัวที่เจือจากด้วย 1 เปอร์เซนต์ BSA/PBS ไม่ทำปฏิกิริยากับплатที่เคลือบด้วย BSA และ OVA แต่จะทำปฏิกิริยากับплатที่เคลือบด้วย CPSEM-

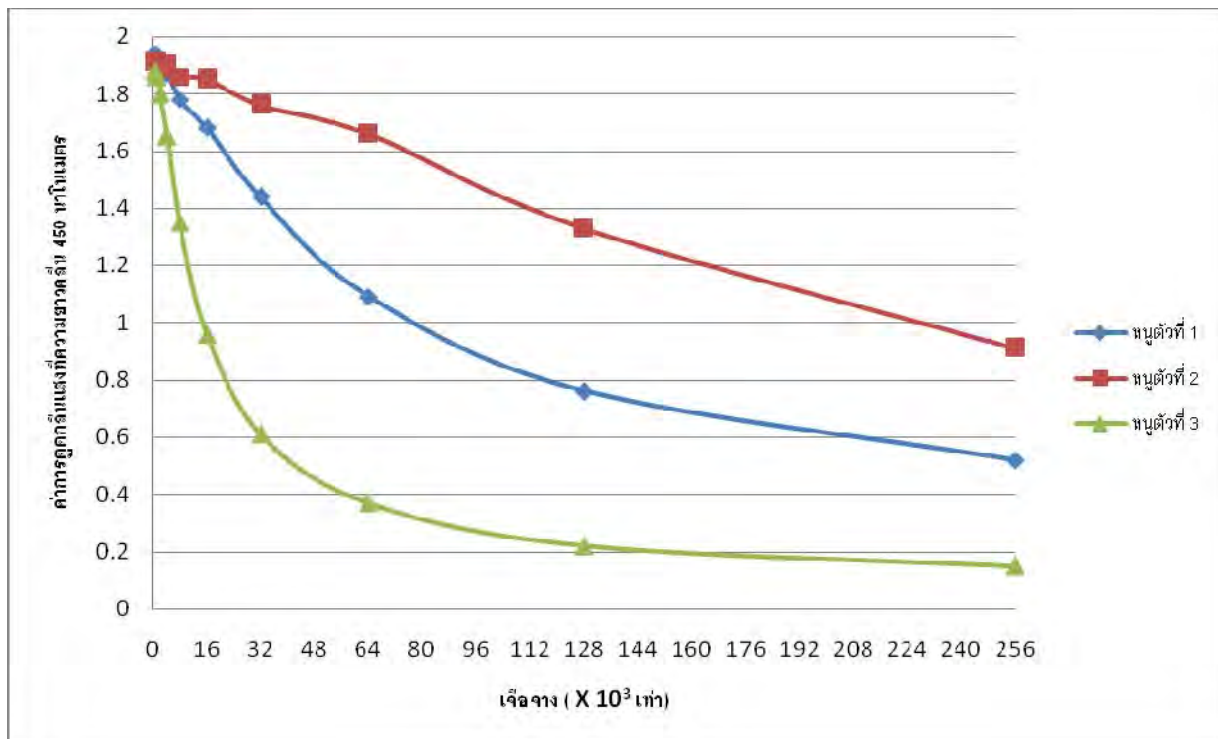
OVA ในระดับสูง ให้ค่าการดูดกลืนแสงที่ความยาวคลื่น 450 นาโนเมตร สูงสุดในการทำปฏิกิริยาเท่ากับ 1.9 หนูตัวที่ 1 และ 2 ให้ระดับแอนติบอดีสูงกว่า 1:256,000 สำหรับหนูตัวที่ 3 ให้ระดับไทด์เตอร์ ออยที่ 1:128,000 ดังแสดงในภาพรูปที่ 2 หนูทั้ง 3 ตัว มีระดับแอนติบอดีที่สูง

ตารางที่ 2 แสดงค่าการดูดกลืนแสงที่ความยาวคลื่น 450 นาโนเมตร จากการทดสอบระดับแอนติบอดีในชีรัมหนู

#### โดยวิธี indirect ELISA

เจือจาง ชีรัมหนู ( $\times 10^3$ เท่า)	ค่าการดูดกลืนแสงที่ความยาวคลื่น 450 นาโนเมตร											
	CPSEM-OVA (0.5 ไมโครกรัมต่อมิลลิลิตร)				BSA (0.5 ไมโครกรัมต่อมิลลิลิตร)				OVA (0.5 ไมโครกรัมต่อมิลลิลิตร)			
	หนู 1	หนู 2	หนู 3	NMS	หนู 1	หนู 2	หนู 3	NMS	หนู 1	หนู 2	หนู 3	NMS
0.5	1.94	1.91	1.88	0.17	0.38	0.27	0.24	0.16	0.35	0.38	0.29	0.22
1	1.91	1.91	1.86	0.13	0.23	0.20	0.16	0.12	0.25	0.30	0.21	0.17
2	1.89	1.89	1.80	0.10	0.16	0.14	0.12	0.10	0.18	0.20	0.15	0.13
4	1.87	1.90	1.65	0.09	0.12	0.11	0.10	0.08	0.15	0.14	0.12	0.10
8	1.78	1.86	1.35	0.09	0.11	0.08	0.08	0.08	0.12	0.12	0.12	0.11
16	1.68	1.85	0.96	0.09	0.09	0.07	0.07	0.09	0.13	0.11	0.10	0.10
32	1.44	1.76	0.61	0.08	0.09	0.07	0.07	0.09	0.14	0.11	0.10	0.10
64	1.09	1.66	0.37	0.08	0.09	0.06	0.07	0.09	0.13	0.09	0.10	0.10
128	0.76	1.33	0.22	0.07	0.10	0.07	0.08	0.10	0.13	0.09	0.09	0.10
256	0.52	0.91	0.15	0.09	0.11	0.08	0.08	0.09	0.15	0.10	0.09	0.12
1%BSA	0.17	0.10	0.10	0.09	0.14	0.12	0.12	0.10	0.17	0.14	0.13	0.10
PBS	0.08	0.07	0.07	0.09	0.08	0.07	0.07	0.07	0.10	0.09	0.10	0.08

NMS = ชีรัมหนูปกติ



รูปที่ 2 กราฟแสดงระดับแอนติบอดีของหนูทดลอง 3 ตัว ที่ได้รับการกระตุ้นด้วย CPSEM-BSA โดยวิธี indirect ELISA เคลือบหลุมด้วย CPSEM-OVA

จากนั้นทำการทดสอบความสามารถของแอนติบอดีในการจับกับ SEM ,CPSEM และ NPSEM ในรูปอิสระ โดยวิธี indirect competitive ELISA โดยเคลือบหลุมด้วย CPSEM-OVA เจือจางซีรัมหนูตัวที่ 1 ,2 และ 3 ด้วย 1 เปอร์เซนต์ BSA/PBS ที่ความเข้มข้น 1:32,000 ,1:64,000 และ 1:4,000 เท่า ตามลำดับ ทำปฏิกิริยากับ SEM ,CPSEM และ NPSEM ในรูปอิสระที่ความเข้มข้น เท่ากับ 0 – 50 ไมโครกรัมต่อมิลลิลิตร ผลการทดสอบดังแสดงในตารางที่ 3 แอนติบอดีในซีรัมหนูทั้ง 3 ตัว สามารถจับกับ NPSEM ได้ มีค่า IC<sub>50</sub> เท่ากับ 1.5 ,5.7 และ 20.6 ไมโครกรัมต่อมิลลิลิตร ตามลำดับ และสามารถจับกับ SEM และ CPSEM ที่ความเข้มข้น 50 ไมโครกรัมต่อมิลลิลิตร ได้ประมาณ 30 – 50 เปอร์เซนต์ ค่า IC<sub>50</sub> มากกว่า 50 ไมโครกรัม ต่อมิลลิลิตร ดังแสดงในตารางที่ 4 แอนติบอดีในซีรัมหนูทั้ง 3 ตัว สามารถจับกับ NPSEM ได้ดีกว่า SEM และ CPSEM

ตารางที่ 3 แสดงค่าการดูดกลืนแสงที่ความยาวคลื่น 450 นาโนเมตร จากการทดสอบความสามารถของเอนติบอดี

ในชีรัมหนูในการจับกับ SEM ,CPSEM และ NPSEM ในรูปอิสระ โดยวิธี indirect competitive ELISA

ความเข้มข้น ของสาร (ไมโครกรัมต่อ มิลลิลิตร)	ค่าการดูดกลืนแสงที่ความยาวคลื่น 450 นาโนเมตร								
	ตัวที่ 1			ตัวที่ 2			ตัวที่ 3		
	SEM	CPSEM	NPSEM	SEM	CPSEM	NPSEM	SEM	CPSEM	NPSEM
0	1.48	1.49	1.49	1.40	1.39	1.47	1.18	1.44	1.38
0.003	1.48	1.50	1.48	1.43	1.42	1.37	1.47	1.43	1.44
0.006	1.44	1.48	1.47	1.41	1.42	1.46	0.99	1.51	1.48
0.012	1.44	1.46	1.43	1.43	1.44	1.46	1.40	1.51	1.49
0.024	1.45	1.44	1.32	1.42	1.41	1.42	1.41	1.49	1.46
0.049	1.43	1.47	1.29	1.34	1.44	1.38	1.41	1.35	1.41
0.098	1.44	1.45	1.23	1.38	1.42	1.35	1.42	1.44	1.35
0.196	1.45	1.36	1.16	1.36	1.46	1.29	1.37	1.44	1.31
0.391	1.44	1.48	1.04	1.41	1.46	1.24	1.45	1.46	1.29
0.781	1.49	1.47	0.87	1.38	1.36	1.10	1.44	1.46	1.29
1.563	1.49	1.46	0.61	1.36	1.40	1.06	1.40	1.43	1.25
3.125	1.44	1.45	0.43	1.35	1.39	0.89	1.33	1.34	1.13
6.25	1.37	1.39	0.25	1.23	1.26	0.62	1.30	1.32	0.96
12.5	1.34	1.32	0.16	1.14	1.23	0.40	1.12	1.20	0.73
25	1.26	1.20	0.13	1.07	1.03	0.25	0.92	0.94	0.49
50	1.03	1.03	0.11	0.84	0.92	0.16	0.65	0.69	0.32

ตารางที่ 4 แสดงค่า  $IC_{50}$  จากการทดสอบความไวในการจับกับสาร SEM ,CPSEM และ NPSEM ในรูปอิสระ

ชีรัมหนูตัวที่	$IC_{50}$ (ไมโครกรัมต่อมิลลิลิตร)		
	SEM	CPSEM	NPSEM
1	> 50	> 50	1.5
2	> 50	> 50	5.7
3	> 50	> 50	20.6

### 3.3 การทดลองรวมเซลล์และคัดเลือกเซลล์ไบบริโภมาที่ผลิตแอนติบอดีต่อ NPSEM

จากการทดลองรวมเซลล์ Myeloma NSI กับ B-Cell จากม้ามหนู ทั้ง 3 ครั้ง ได้เซลล์ไบบริโภมามากกว่า 90 เปอร์เซนต์ แต่ในการทดลองรวมเซลล์หนูตัวที่ 1 เมื่อทำการคัดเลือก “ได้เซลล์ไบบริโภมาที่ผลิตแอนติบอดี 4 หลุม แต่ไม่จับกับ NPSEM สำหรับการทดลองรวมเซลล์หนูตัวที่ 2 และหนูตัวที่ 3 ทำการคัดเลือกเซลล์ที่ผลิตแอนติบอดี โดยวิธี indirect ELISA จากการทดสอบเซลล์ไบบริโภมาทั้งหมด 2,304 หลุม ได้เซลล์ไบบริโภมาที่ผลิตแอนติบอดี จำนวน 480 หลุม และเมื่อนำไปทดสอบหาเซลล์ที่ผลิตแอนติบอดีที่จับกับ NPSEM ในรูปอิสระ โดยวิธี indirect competitive ELISA ได้เซลล์ไบบริโภมาที่ผลิตแอนติบอดีจับกับ NPSEM ที่ความเข้มข้น 5 ไมโครกรัมต่อมิลลิลิตร จำนวน 61 หลุม ดังตารางที่ 5 และเซลล์ยังคงผลิตแอนติบอดีได้ไม่จับกับสาร NPSEM จำนวน 16 หลุม ส่วนเซลล์อีก 403 หลุม ไม่ผลิตแอนติบอดี นำเซลล์ไบบริโภมาที่ผลิตแอนติบอดีต่อ NPSEM ทั้ง 61 หลุมไปทำให้เป็นโคลนเดียว

ตารางที่ 5 การคัดเลือกเซลล์ไข่บริโภคที่ผลิตแอนติบอดีที่มีความสามารถในการจับกับสาร NPSEM ในรูปอิสระ

โดยวิธี indirect competitive ELISA

หลุม	ค่าการดูดกลืน แสงที่ความยาว คลื่น 450 นาโนเมตร		หลุม	ค่าการดูดกลืน แสงที่ความยาว คลื่น 450 นาโนเมตร		หลุม	ค่าการดูดกลืน แสงที่ความยาว คลื่น 450 นาโนเมตร		หลุม	ค่าการดูดกลืนแสง ที่ความยาวคลื่น 450 นาโนเมตร				
	เมตร			เมตร			เมตร			PBS				
	PBS	NPSEM		PBS	NPSEM		PBS	NPSEM		PBS	NPSEM			
4/5A	0.61	0.13	11/10G	1.23	0.15	12/1A	0.89	0.12						
1/4A	0.82	0.12	1/6H	0.64	0.16	1/10B	0.76	0.16	2/8F	0.79	0.11			
2/11B	0.93	0.23	2/11F	0.51	0.07	3/3A	0.73	0.13	3/3F	0.53	0.08			
3/5A	0.53	0.07	3/9H	0.53	0.08	4/3A	0.88	0.21	4/10B	0.60	0.09			
7/1A	0.78	0.12	7/2A	0.71	0.10	7/2B	0.66	0.09	7/3C	1.08	0.15			
7/5C	0.75	0.12	7/6A	0.97	0.15	7/6C	0.71	0.13	7/7A	0.63	0.09			
7/7D	0.68	0.13	7/8A	1.39	0.32	7/8B	0.69	0.14	7/9B	1.32	0.17			
7/9C	0.73	0.12	7/10B	0.79	0.11	7/10C	0.85	0.18	7/11A	0.70	0.11			
7/11C	0.60	0.17	7/11D	0.86	0.14	7/12C	0.53	0.11	7/12D	0.52	0.12			
8/3D	1.10	0.19	10/4D	0.61	0.15	10/5C	0.61	0.14	10/6C	0.93	0.10			
10/7H	1.05	0.25	10/8H	0.61	0.11	10/10B	1.04	0.18	10/10F	0.56	0.08			
10/10H	0.93	0.12	10/11H	0.96	0.10	11/1D	0.60	0.12	11/1E	0.54	0.08			
11/1G	0.60	0.16	11/3H	0.81	0.11	11/5H	0.80	0.11	11/6H	0.63	0.12			
11/7H	1.24	0.32	11/8G	0.81	0.14	11/9G	1.06	0.21	11/10E	1.08	0.15			
11/10F	0.79	0.35	11/10G	0.66	0.15	11/10H	0.73	0.12	11/11H	0.88	0.14			
11/12H	0.66	0.16	12/2B	0.87	0.14									

จากนั้นนำเซลล์ไบบริโภมาที่ผลิตแอนติบอดีและจับกับ NPSEM ในรูปอิสระ มาทำ Subclone โดยวิธี Limiting dilution จำนวน 3 ครั้ง และทำการคัดเลือกโคลนที่ยังคงผลิตแอนติบอดี และจับได้กับ NPSEM ในรูปอิสระไว้จำนวน 40 โคลน จากเซลล์หลุมตัน 3 หลุม คือ 11/10G ,12/1A และ 4/5A ดังแสดงในภาคผนวก ทำการเพิ่มจำนวนเซลล์ที่ได้ เก็บแข็งในไนโตรเจนเหลว และเก็บอาหารเลี้ยงเซลล์ไว้ทำการทดสอบคุณสมบัติต่อไป

### 3.4 การศึกษาลักษณะเบื้องต้นของไมโนโคลนอลแอนติบอดี

เมื่อทำการเก็บเซลล์ไบบริโภมาทั้ง 40 โคลน แข็งในไนโตรเจนเหลว และนำอาหารเลี้ยงเซลล์ที่เก็บไว้มาทดสอบความสามารถในการผลิตแอนติบอดี ดังแสดงผลในตารางที่ 6 โคลนที่ยังคงผลิตแอนติบอดี จำนวน 27 โคลน ได้แก่ หมายเลข 1 ,2 ,3 ,4 ,5 ,6 ,7 ,8 ,14 ,15 ,16 ,18 ,20 ,21 ,22 ,25 ,26 ,37 ,38 ,39 ,40 ,41 ,42 ,43 ,47 ,48 และ 49 จึงนำโคลนเหล่านี้ไปทดสอบความเข้มข้นของแอนติบอดีที่เหมาะสมในการทดสอบคุณสมบัติอีกครั้งหนึ่ง

ตารางที่ 6 แสดงค่าการดูดกลืนแสงที่ความยาวคลื่น 450 นาโนเมตร จากการทดสอบแอนติบอดีในอาหารเลี้ยง

เซลล์ที่ได้จากการเก็บแข็งเซลล์ โดยวิธี indirect ELISA

โคลนไ/exbR1/โตามา หมายเลข	ค่าการดูดกลืนแสง ที่ความยาวคลื่น 450 นาโนเมตร	โคลนไ/exbR1/โตามา หมายเลข	ค่าการดูดกลืนแสง ที่ความยาวคลื่น 450 นาโนเมตร	โคลนไ/exbR1/โตามา หมายเลข	ค่าการดูดกลืนแสง ที่ความยาวคลื่น 450 นาโนเมตร
1	1.36	2	1.20	3	1.41
4	1.40	5	1.49	6	1.39
7	1.42	8	1.53	14	0.87
15	0.90	16	1.10	17	0.12
18	1.08	19	0.21	20	1.08
21	0.90	22	0.74	23	0.19
24	0.42	25	1.06	26	1.23
27	0.11	28	0.10	29	0.07
30	0.14	31	0.12	32	0.51
33	0.10	35	0.10	36	0.11
37	1.51	38	1.41	39	1.46
40	1.45	41	1.52	42	1.53
43	1.43	47	1.58	48	1.53
49	1.44				

### 3.4.1 การหาความเข้มข้นแอนติบอดีที่เหมายสารโดยวิธี indirect ELISA

เนื่องจากไอบริโภคแล้วจะมีความสามารถในการผลิตแอนติบอดีที่แตกต่างกัน และในขั้นตอนนี้ไม่สามารถหาความเข้มข้นแอนติบอดีในอาหารเลี้ยงเซลล์ได้อย่างแม่นยำ จึงทำการเจือจางแอนติบอดีในอาหารเลี้ยงเซลล์โดยนำอาหารเลี้ยงเซลล์ทั้ง 24 โคลน มาทำการเจือจาง 2 ,5 ,10 ,20 และ 40 เท่า ตามลำดับ (ด้วยอาหารสำหรับใช้เลี้ยงเซลล์) เปรียบเทียบกับอาหารเลี้ยงเซลล์ที่ไม่ถูกเจือจาง ทำการทดสอบโดยวิธี indirect ELISA เลือกค่าการเจือจางมากที่สุดที่ยังคงให้ค่าการดูดกลืนแสงใกล้เคียงกับอาหารที่ไม่ถูกเจือจาง แสดงว่าแอนติบอดีเจือจางมากที่สุดแต่ยังคงให้ค่าการทำปฏิกิริยาสูงสุด จากผลการทดสอบ พบว่า ค่าการเจือจางที่เหมายสารมีจุดนีคือ โคลนที่ไม่เจือจาง ได้แก่ หมายเลข 14 ,15 ,16 ,18 ,20 และ 25 โคลนที่เจือจาง 5 และ 10 เท่า ได้แก่ หมายเลข 26 และ 38 ตามลำดับ โคลนที่เจือจาง 40 เท่า ได้แก่ หมายเลข 1 ,2 ,3 ,4 ,5 ,6 ,7 ,8 ,39 ,40 ,41 ,42 ,43 ,47 ,48 และ 49 ผลการทดสอบดังแสดงในตารางที่ 7

ตารางที่ 7 แสดงค่าการดูดกลืนแสงที่ความยาวคลื่น 450 นาโนเมตร จากการหาความเข้มข้นของแอนติบอดีที่

เหมาะสมในการทำปฏิกิริยา โดยวิธี indirect ELISA

หมายเลข	ค่าการดูดกลืนแสงที่ความยาวคลื่น 450 นาโนเมตร / เจือจาง (เท่า)					
	ไม่เจือจาง	2	5	10	20	40
1	1.29	1.40	1.44	1.43	1.37	1.35
2	1.38	1.39	1.38	1.38	1.37	1.28
3	1.46	1.44	1.54	1.49	1.43	1.27
4	1.07	1.49	1.55	1.53	1.56	1.48
5	1.45	1.62	1.61	1.66	1.56	1.44
6	1.60	1.69	1.70	1.70	1.65	1.58
7	1.57	1.60	1.57	1.54	1.45	1.35
8	1.44	1.57	1.56	1.57	1.48	1.37
14	1.73	1.45	0.83	0.56	0.12	0.11
15	1.74	1.32	0.65	0.32	0.13	0.12
16	1.82	1.51	0.76	0.45	0.22	0.10
18	1.23	0.94	0.41	0.25	0.13	0.11

ตารางที่ 7 (ต่อ) แสดงค่าการดูดกลืนแสงที่ความยาวคลื่น 450 นาโนเมตร จากการหาความเข้มข้นของแอนติบอดีที่

เหมาะสมในการทำปฏิกิริยา โดยวิธี indirect ELISA

หมายเลข	ค่าการดูดกลืนแสงที่ความยาวคลื่น 450 นาโนเมตร / เจือจาง (เท่า)					
	ไม่เจือจาง	2	5	10	20	40
20	1.16	1.04	0.84	0.67	0.45	0.27
25	1.04	0.97	0.82	0.62	0.39	0.29
26	1.28	1.22	1.12	0.98	0.84	0.59
38	1.22	1.22	1.19	1.20	1.11	0.92
39	1.41	1.41	1.43	1.45	1.43	1.42
40	1.45	1.53	1.41	1.51	1.47	1.69
41	1.55	1.58	1.67	1.67	1.61	1.57
42	1.54	1.59	1.58	1.59	1.58	1.51
43	1.56	1.53	1.57	1.57	1.57	1.43
47	1.64	1.60	1.62	1.60	1.58	1.57
48	1.56	1.53	1.47	1.47	1.45	1.32
49	1.20	1.21	1.33	1.41	1.46	1.39

### 3.4.2 การทดสอบความจำเพาะของโมโนโคลนอลแอนติบอดี โดยวิธี indirect competitive ELISA

นำโมโนโคลนอลแอนติบอดีที่ได้มาทดสอบการทำปฏิกิริยาข้ามกับสารในกลุ่มและนอกกลุ่มในต่อฟูเวนด์วิธี indirect competitive ELISA กับสารอื่นที่อยู่ในกลุ่มในต่อฟูเวนด์ทั้งที่อยู่ในรูปยาตั้งตัน ได้แก่ FZD ,FTD ,NFZ และ NFT สารรูปเมแทบอไล์ท ได้แก่ AOZ ,AMOZ ,SEM และ AHD สารรูปอนุพันธ์ ได้แก่ NPAOZ ,NPAMOZ ,NPSEM และ NPAHD สารนอกกลุ่มในต่อฟูเวนด์ที่นำมาทดสอบ คือ CBA ซึ่งเป็นสารที่ใช้ในการเปลี่ยนแปลงอนุพันธ์สาร SEM เป็น CPSEM สารในกลุ่มยาปฏิชีวนะ ได้แก่ คลอแรม芬ิโนลด์ ,ซิโนพรฟลอกชาชิน ,ออกซีเตตราไซคลิน ,เตตราไวไซคลิน ,ออกซีไซคลิน และสารในกลุ่มบีตา-อะဂาโนสต์ ได้แก่ เคลนบูเทอรอล และชัลบูทามอล โดยทดสอบในโมโนโคลนอลแอนติบอดีในอาหารเลี้ยงเซลล์ที่เจือจากตามข้อ 3.4.1 กับสารเหล่านี้ที่ความเข้มข้น 10  $\mu\text{g}/\text{ml}$  ไมโครกรัมต่อมิลลิลิตร ด้วยวิธี indirect competitive ELISA พบว่า โมโนโคลนอลแอนติบอดีทั้ง 22 โคลน มีความสามารถในการจับกับ NFZ และ NPSEM ในรูปอิสระได้ซึ่งการทำปฏิกิริยาได้ค่าการดูดกลืนแสงที่ลดลงเหลือประมาณ 0.1 – 0.3 ส่วนการทำปฏิกิริยา กับสารอื่นๆนั้นให้ค่าใกล้เคียงกับแอนติบอดีที่ไม่เติมตัวแข่งขันมีแต่สารละลาย PBS มีค่าการดูดกลืนแสงที่ความยาวคลื่น 450 นาโนเมตร ประมาณ 1.2 – 2.0 ดังแสดงในตารางที่ 8 แสดงว่า แอนติบอดีทุกด้วยไม่ทำปฏิกิริยา กับสารตัวอื่น แต่ทำเฉพาะกับ NFZ และ NPSEM เท่านั้น

ตารางที่ 8 แสดงค่าการดูดกลืนแสงที่ความยาวคลื่น 450 นาโนเมตร จากการทดสอบปฏิริยาข้ามของโมโน

โคลนอลแอนติบอดีต่อสารในกลุ่มและนอกกลุ่มในโทรศัพท์เรน

สาร / แอนติบอดี หมายเลข	ค่าการดูดกลืนแสงที่ความยาวคลื่น 450 นาโนเมตร										
	1	2	3	4	5	6	7	8	14	15	16
FZD	1.75	1.75	1.55	1.72	1.64	1.94	1.45	1.70	1.75	1.72	1.82
AOZ	1.77	1.64	1.35	1.66	1.62	1.83	1.38	1.62	1.62	1.60	1.70
NPAOZ	1.72	1.62	1.40	1.66	1.61	1.83	1.40	1.61	1.67	1.72	1.77
CPAOZ	1.65	1.68	1.43	1.75	1.65	1.84	1.43	1.68	1.61	1.75	1.79
FTD	1.79	1.74	1.48	1.77	1.71	2.00	1.43	1.71	1.68	1.61	1.64
AMOZ	1.74	1.75	1.54	1.75	1.68	1.86	1.42	1.69	1.77	1.77	1.82
NPAMOZ	1.76	1.76	1.49	1.72	1.70	1.88	1.48	1.68	1.76	1.78	1.80
CPAMOZ	1.76	1.72	1.48	1.72	1.69	1.87	1.45	1.73	1.75	1.71	1.79
NFZ	0.13	0.14	0.13	0.13	0.12	0.14	0.11	0.13	0.26	0.25	0.43
SEM	1.67	1.63	1.40	1.58	1.55	1.74	1.35	1.66	1.68	1.65	1.81
NPSEM	0.11	0.10	0.12	0.10	0.11	0.09	0.10	0.10	0.14	0.13	0.14
CPSEM	1.65	1.74	1.51	1.78	1.69	1.92	1.45	1.74	1.77	1.77	1.89

ตารางที่ 8 (ต่อ) แสดงค่าการดูดกลืนแสงที่ความยาวคลื่น 450 นาโนเมตร จากการทดสอบปฏิกิริยาข้ามของโมโน

โคลนอลแอนติบอดีต่อสารในกลุ่มและนอกกลุ่มในตรรฟูเรน

สาร / แอนติบอดี หมายเลข	ค่าการดูดกลืนแสงที่ความยาวคลื่น 450 นาโนเมตร										
	1	2	3	4	5	6	7	8	14	15	16
NFT	1.62	1.61	1.40	1.58	1.52	1.72	1.34	1.58	1.56	1.57	1.62
AHD	1.67	1.66	1.40	1.64	1.64	1.80	1.35	1.65	1.62	1.61	1.67
NPAHD	1.70	1.75	1.52	1.70	1.63	1.83	1.30	1.64	1.62	1.66	1.72
3-Carboxy benzaldehyde	1.73	1.74	1.47	1.76	1.67	1.85	1.38	1.67	1.70	1.74	1.71
Salbutamol	1.72	1.67	1.48	1.74	1.65	1.88	1.40	1.69	1.73	1.73	1.74
Clenbuterol	1.71	1.69	1.40	1.70	1.68	1.85	1.41	1.67	1.72	1.74	1.75
Chloramphenicol	1.76	1.58	1.34	1.60	1.55	1.79	1.28	1.58	1.34	1.39	1.47
Ciprofloxacin	1.77	1.72	1.52	1.75	1.68	1.85	1.32	1.64	1.56	1.52	1.61
Oxytetracycline – HCl	1.78	1.68	1.37	1.71	1.69	1.90	1.43	1.66	1.58	1.59	1.67
Tetracycline - HCl	1.76	1.71	1.49	1.74	1.70	1.93	1.40	1.68	1.63	1.63	1.71
Doxycycline hydrate	1.78	1.74	1.50	1.77	1.77	2.00	1.48	1.68	1.64	1.63	1.76
DMF (1:50)	1.58	1.80	1.59	1.72	1.72	1.85	1.50	1.70	1.75	1.75	1.85
PBS	1.73	1.68	1.51	1.72	1.70	1.89	1.47	1.71	1.73	1.74	1.82

ตารางที่ 8 (ต่อ) แสดงค่าการดูดกลืนแสงที่ความยาวคลื่น 450 นาโนเมตร จากการทดสอบปฏิกริยาข้ามของโมโน

โคลนอลแอนติบอดีต่อสารในกลุ่มและนอกกลุ่มในตรรฟูเรน

สาร / แอนติบอดี หมายเลข	ค่าการดูดกลืนแสงที่ความยาวคลื่น 450 นาโนเมตร										
	18	20	25	26	38	39	40	43	47	48	49
FZD	1.13	1.26	1.31	1.64	1.59	1.84	1.45	1.44	1.86	1.43	1.77
AOZ	1.35	1.43	1.39	1.56	1.50	1.80	1.34	1.26	1.66	1.29	1.60
NPAOZ	1.48	1.54	1.52	1.68	1.54	1.84	1.36	1.35	1.77	1.38	1.64
CPAOZ	1.49	1.60	1.58	1.76	1.55	1.88	1.40	1.33	1.78	1.38	1.65
FTD	1.32	1.56	1.39	1.79	1.76	2.11	1.58	1.64	2.06	1.64	1.90
AMOZ	1.50	1.62	1.61	1.77	1.57	1.94	1.42	1.38	1.80	1.37	1.66
NPAMOZ	1.43	1.58	1.59	1.78	1.59	1.95	1.41	1.37	1.77	1.37	1.61
CPAMOZ	1.40	1.54	1.52	1.70	1.48	1.87	1.35	1.29	1.73	1.30	1.61
NFZ	0.16	0.16	0.15	0.30	0.16	0.27	0.17	0.14	0.21	0.17	0.25
SEM	1.18	1.28	1.22	1.51	1.51	1.85	1.23	1.33	1.81	1.35	1.67
NPSEM	0.16	0.15	0.14	0.16	0.13	0.14	0.13	0.18	0.20	0.14	0.18
CPSEM	1.21	1.34	1.27	1.63	1.64	1.97	1.37	1.42	1.84	1.44	1.75

ตารางที่ 8 (ต่อ) แสดงค่าการดูดกลืนแสงที่ความยาวคลื่น 450 นาโนเมตร จากการทดสอบปฏิกิริยาข้ามของโมโน

โคลนอลแอนติบอดีต่อสารในกลุ่มและนอกกลุ่มในตรรฟูเรน

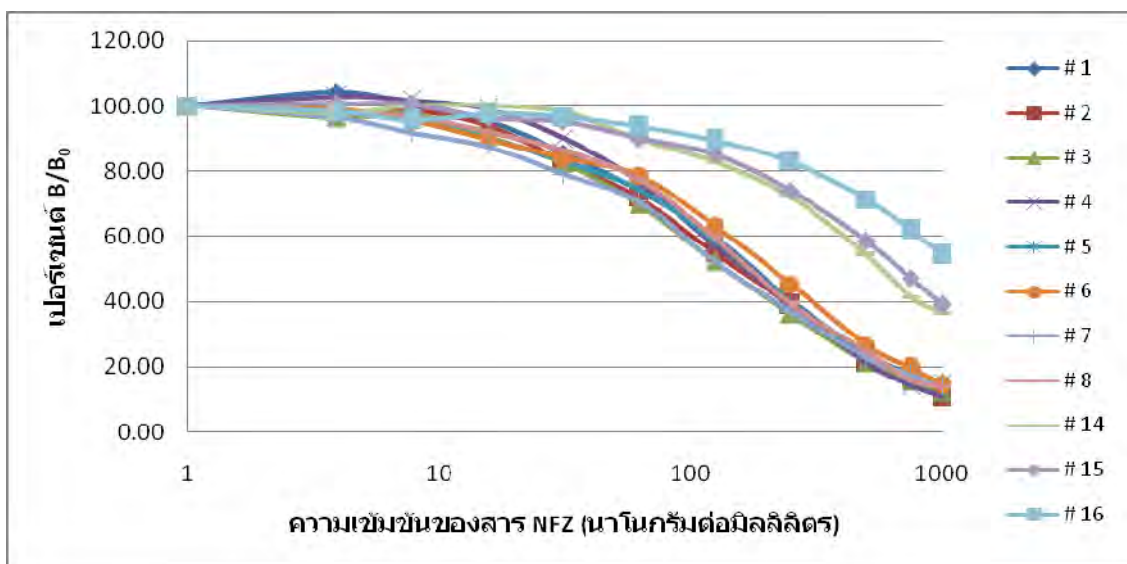
สาร / แอนติบอดี หมายเลข	ค่าการดูดกลืนแสงที่ความยาวคลื่น 450 นาโนเมตร										
	18	20	25	26	38	39	40	43	47	48	49
NFT	1.69	1.35	1.27	1.51	1.66	1.92	1.46	1.47	1.88	1.59	1.82
AHD	1.32	1.38	1.31	1.53	1.73	1.95	1.50	1.56	1.89	1.56	1.89
NPAHD	1.35	1.47	1.43	1.73	1.76	2.01	1.59	1.56	2.00	1.62	1.97
3-Carboxy benzaldehyde	1.36	1.47	1.53	1.74	1.79	2.03	1.61	1.59	2.09	1.62	1.96
Salbutamol	1.32	1.46	1.45	1.75	1.80	2.05	1.58	1.53	2.02	1.55	1.88
Clenbuterol	1.28	1.46	1.42	1.72	1.75	2.04	1.56	1.58	2.02	1.16	1.94
Chloramphenicol	1.20	1.25	1.21	1.62	1.50	2.09	1.34	1.44	2.01	1.64	1.76
Ciprofloxacin	1.18	1.39	1.29	1.54	1.75	1.93	1.47	1.52	2.02	1.55	1.85
Oxytetracycline – HCl	1.34	1.38	1.32	1.65	1.77	1.98	1.49	1.58	2.09	1.67	2.00
Tetracycline - HCl	1.40	1.41	1.38	1.64	1.77	2.04	1.58	1.59	1.97	1.66	1.93
Doxycycline hydrate	1.30	1.46	1.35	1.77	1.73	2.07	1.53	1.50	1.99	1.60	1.86
DMF (1:50)	1.16	1.23	1.21	1.50	1.52	1.83	1.36	1.34	1.72	1.30	1.65
PBS	1.23	1.29	1.22	1.44	1.51	1.79	1.45	1.40	1.77	1.43	1.71

### 3.4.3 การทดสอบความไวของโนโนโคลนอลแอนติบอดี โดยวิธี indirect competitive ELISA

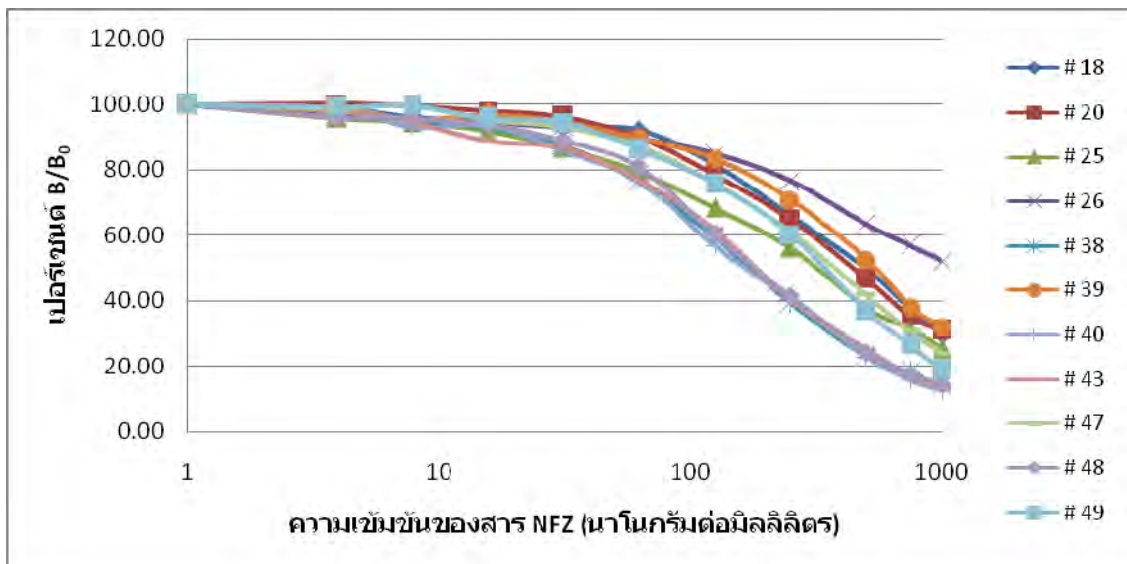
จากการที่โนโนโคลนอลแอนติบอดีทั้ง 22 โคลน ทำปฏิกิริยาเฉพาะกับ NFZ และ NPSEM ในรูปอิสระ จึงนำโคลนเหล่านั้นมาทดสอบความไวต่อสารทั้ง 2 ตัว ด้วยวิธี indirect competitive ELISA โดยแปรความเข้มข้นของสารเป็น 1,000 ,750 ,500 ,250 ,125 ,62.5 ,31.25 ,15.63 ,7.8 ,3.9 และ 0 นาโนกรัมต่อมิลลิลิตร ตามลำดับ ผสมกับโนโนโคลนอลแอนติบอดีที่เลือจาก นำค่าการดูดกลืนแสงที่ได้มาสร้างกราฟ ดังแสดงในรูปที่ 3 – 6 จากนั้นคำนวณหาค่า  $IC_{50}$  จากกราฟได้ผลดังแสดงในตารางที่ 9 พบว่า โคลนหมายเลข 1 – 8 ,38 – 40 ,43 และ 47 – 49 ซึ่งเป็นโคลนที่ได้มาจากเซลล์หลุมตัน 11/10G มีค่า  $IC_{50}$  อยู่ในช่วง 13 – 40 นาโนกรัมต่อมิลลิลิตร ซึ่งมีค่าต่ำกว่าโคลนหมายเลข 14 – 16 ,18 ,20 ,25 และ 26 ที่ได้จากเซลล์หลุมตัน 12/1A คือ มีค่า  $IC_{50}$  อยู่ในช่วง 50 – 113 นาโนกรัมต่อมิลลิลิตร เมื่อนำค่า  $IC_{50}$  ที่ได้ของทั้ง 2 สารมาคำนวณหาค่าเบอร์เซนต์การเกิดปฏิกิริยาข้าม (% cross Reaction) ตามสูตร

$$\text{เบอร์เซนต์การเกิดปฏิกิริยาข้าม} = \left( \frac{IC_{50} \text{ ของสาร NPSEM}}{IC_{50} \text{ ของสาร NFZ}} \right) \times 100$$

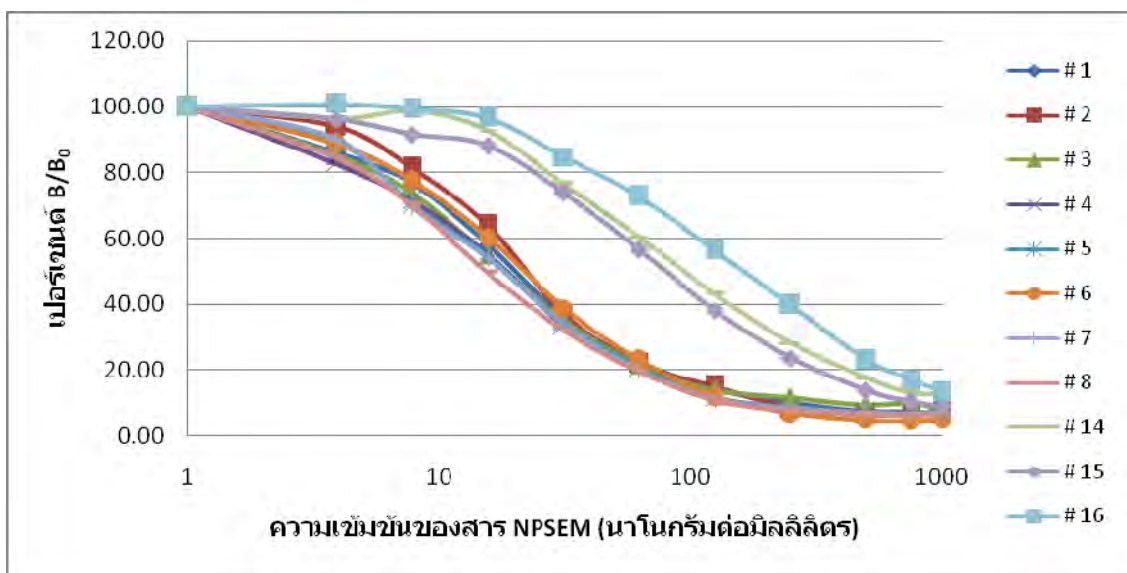
พบว่าค่าเบอร์เซนต์การเกิดปฏิกิริยาข้ามของสาร NFZ อยู่ที่ประมาณ 10 – 60 เบอร์เซนต์



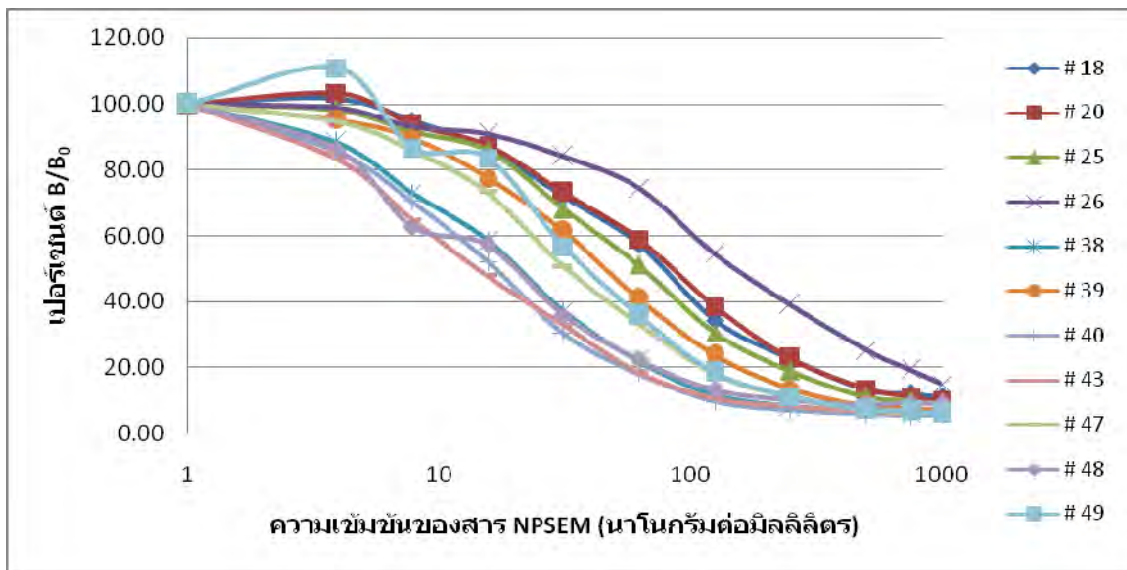
รูปที่ 3 กราฟแสดงการทดสอบความจำเพาะของโมโนคลินอลแอนดิบอดีต่อสาร NFZ



รูปที่ 4 กราฟแสดงการทดสอบความจำเพาะของโมโนคลินอลแอนดิบอดีต่อสาร NFZ (ต่อ)



รูปที่ 5 กราฟแสดงการทดสอบความจำเพาะของโมโนโคลนอลแอนติบอดีต่อสาร NPSEM



รูปที่ 6 กราฟแสดงการทดสอบความจำเพาะของโมโนโคลนอลแอนติบอดีต่อสาร NPSEM (ต่อ)

ตารางที่ 9 แสดงค่า  $IC_{50}$  และเปอร์เซนต์การเกิดปฏิกิริยาข้ามในการทดสอบความจำเพาะของโมโนโคลนอล

แอนติบอดีต่อสาร NPSEM และ NFZ

แอนติบอดี หมายเลข	$IC_{50}$ (นาโนกรัมต่อมิลลิลิตร)		เปอร์เซนต์ การเกิด ปฏิกิริยาข้าม	แอนติบอดี หมายเลข	$IC_{50}$ (นาโนกรัมต่อมิลลิลิตร)		เปอร์เซนต์ การเกิด ปฏิกิริยาข้าม
	NPSEM	NFZ			NPSEM	NFZ	
1	18.7	113.5	16.5	18	56.0	237.7	23.6
2	19.8	119.0	16.6	20	61.5	199.4	30.8
3	16.1	99.9	16.1	25	50.3	145.2	34.6
4	15.4	124.4	12.4	26	108.9	176.0	61.9
5	16.3	113.7	14.3	38	17.5	124.6	14.0
6	20.2	134.0	15.1	39	39.9	249.3	16.0
7	14.3	94.8	15.1	40	15.2	120.5	12.6
8	13.9	121.5	11.4	43	13.1	131.1	10.0
14	75.8	236.9	32.0	47	30.9	199.6	15.5
15	71.2	253.5	28.1	48	13.3	133.8	9.9
16	113.1	278.6	40.6	49	29.9	218.5	13.7

#### 3.4.4 การตรวจสوبไอกโซไทป์ของโมโนโคลนอลแอนติบอดี

จากการทดสอบไอกโซไทป์ของโมโนโคลนอลแอนติบอดีทั้ง 22 โคลน โคลนที่ได้มาจากการเซลล์หลุมตัน 11/10G ซึ่งได้แก่ หมายเลข 1 – 8 ,38 – 40 ,43 และ 47 – 49 จำนวน 15 โคลน แอนติบอดีเป็นชนิด IgG<sub>3</sub> ส่วนโคลนจากการเซลล์หลุมตัน 12/1A จำนวน 7 โคลน ได้แก่ หมายเลข 14 -16 ,18 ,20 ,25 และ 26 ตรวจพบว่า แอนติบอดีเป็นชนิด IgG<sub>3</sub> และ IgM ดังแสดงในตารางที่ 10

ตารางที่ 10 แสดงค่าการดูดกลืนแสงที่ความยาวคลื่น 450 นาโนเมตร จากการตรวจหาไอกโซไทป์ของโมโนโคลนอล

แอนติบอดี โดยวิธี indirect ELISA

หมายเลข	ค่าการดูดกลืนแสงที่ความยาวคลื่น 450 นาโนเมตร					
	IgG <sub>1</sub>	IgG <sub>2a</sub>	IgG <sub>2b</sub>	IgG <sub>3</sub>	IgA	IgM
1	0.11	0.19	0.12	1.02	0.12	0.23
2	0.11	0.18	0.11	0.94	0.11	0.22
3	0.11	0.17	0.11	0.84	0.12	0.22
4	0.05	0.05	0.05	0.75	0.05	0.05
5	0.11	0.17	0.11	0.85	0.12	0.21
6	0.11	0.18	0.11	0.98	0.13	0.22
7	0.11	0.17	0.11	0.79	0.12	0.22
8	0.11	0.16	0.12	0.88	0.13	0.17
14	0.11	0.23	0.13	0.74	0.21	2.32
15	0.09	0.23	0.13	0.69	0.23	2.41
16	0.10	0.26	0.13	0.88	0.25	2.57

ตารางที่ 10 (ต่อ) แสดงค่าการดูดกลืนแสงที่ความยาวคลื่น 450 นาโนเมตร จากการตรวจหาไอโซไทป์ของโมโน

โคลนอลแอนติบอดี โดยวิธี indirect ELISA

แอนติบอดี หมายเลข	ค่าการดูดกลืนแสงที่ความยาวคลื่น 450 นาโนเมตร					
	IgG <sub>1</sub>	IgG <sub>2a</sub>	IgG <sub>2b</sub>	IgG <sub>3</sub>	IgA	IgM
18	0.11	0.24	0.13	0.58	0.21	2.44
20	0.10	0.17	0.12	0.44	0.13	1.31
25	0.10	0.24	0.14	0.63	0.22	2.50
26	0.11	0.19	0.12	0.80	0.15	1.13
38	0.11	0.17	0.12	0.75	0.12	0.25
39	0.12	0.21	0.12	1.08	0.11	0.24
40	0.10	0.17	0.10	0.81	0.10	0.21
43	0.10	0.16	0.10	0.80	0.10	0.22
47	0.09	0.19	0.10	1.02	0.11	0.22
48	0.12	0.17	0.10	0.85	0.10	0.21
49	0.10	0.21	0.11	1.03	0.12	0.24

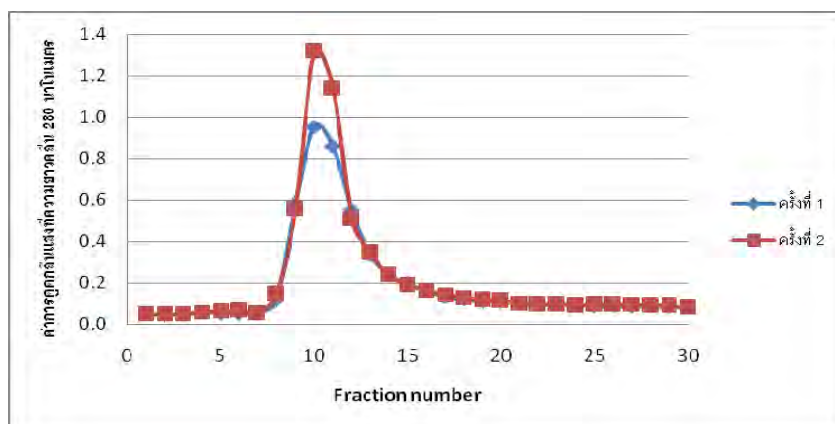
### 3.4.5 การทำโนโนโคลนอลแอนติบอดีให้บริสุทธิ์โดยวิธี affinity chromatography

จากการเลือกโคลนที่ผลิตแอนติบอดีต่อ SEM ทั้งสาม ได้แก่ หมายเลข 8,25 และ 43 จะทำการเลี้ยงเซลล์ทั้ง 3 โคลน เพื่อเพิ่มปริมาณเซลล์และแอนติบอดี โดยใช้ปริมาณของอาหารเลี้ยงเซลล์ประมาณ 1,100 มิลลิลิตร แบ่งอาหารเลี้ยงเซลล์เป็น 2 ส่วนเท่าๆกัน (ประมาณ 550 มิลลิลิตร) และได้ทำการทดสอบโคลนทั้ง 3 ก่อนว่าสามารถผลิตแอนติบอดีอยู่หรือไม่ โดยทดสอบด้วยวิธี indirect ELISA ได้ผลการทดลองดังแสดงในตารางที่ 11 จากนั้นเริ่มทำการแยกแอนติบอดีให้บริสุทธิ์โดยทำการล้างคอลัมน์ protein G sepharose ด้วย 0.2 มิลลิตร ฟอสเฟตบัฟเฟอร์ pH 7.0 จากนั้นทำการเติมอาหารเลี้ยงเซลล์ผ่านคอลัมน์ โดยทำการทดลอง 2 ครั้ง เนื่องจากคอลัมน์สามารถจับกับแอนติบอดีได้เมื่อให้ปริมาณอาหารเลี้ยงเซลล์ครั้งละประมาณ 500 มิลลิลิตร จากนั้นทำการ elute คอลัมน์ ด้วย glycine pH 2.7 และเก็บส่วนใส่ที่ผ่านออกมายังคอลัมน์ในหลอดทดลองหลอดละ 1 มิลลิลิตร จำนวน 30 อัน นำไปวัดค่าการดูดกลืนแสงที่ความยาวคลื่น 280 นาโนเมตร ได้ผลการทำโนโนโคลนอลแอนติบอดีให้บริสุทธิ์ของโคลนหมายเลข 8,25 และ 43 ดังแสดงในรูปที่ 7,8 และ 9 ตามลำดับ จากนั้นรวมส่วนใส่ของการทดลองทั้ง 2 ครั้ง ที่มีค่าการดูดกลืนแสงที่ความยาวคลื่น 280 นาโนเมตรสูงเข้าด้วยกัน โดยโคลนหมายเลข 8 ได้ปริมาณครั้งที่ 1 = 13 มิลลิลิตร , ครั้งที่ 2 = 18 มิลลิลิตร รวมเป็น 31 มิลลิลิตร โคลนหมายเลข 25 ครั้งที่ 1 = 15 มิลลิลิตร , ครั้งที่ 2 = 18 มิลลิลิตร รวมเป็น 33 มิลลิลิตร และโคลนหมายเลข 43 ครั้งที่ 1 = 16 มิลลิลิตร , ครั้งที่ 2 = 12 มิลลิลิตร รวมเป็น 28 มิลลิลิตร เพื่อนำไปหาปริมาณโปรตีนโดยวิธี BCA ต่อไป

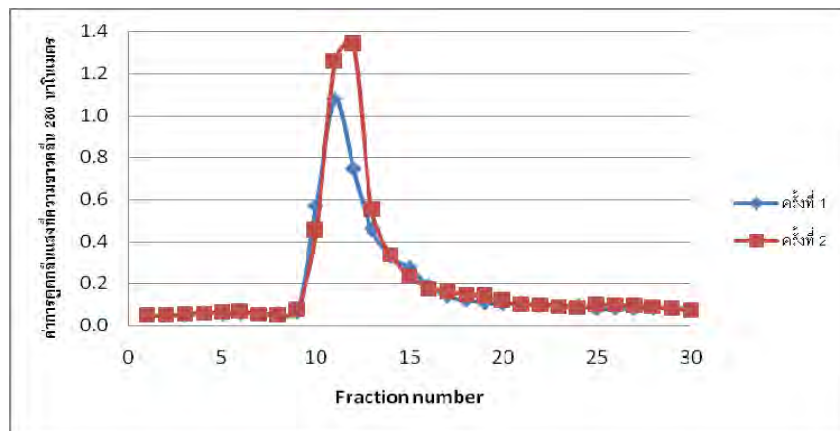
ตารางที่ 11 แสดงค่าการดูดกลืนแสงที่ความยาวคลื่น 450 นาโนเมตร จากการทดสอบโดยลูนหมายเลขอ 8 ,25 และ

43 โดยวิธี indirect ELISA

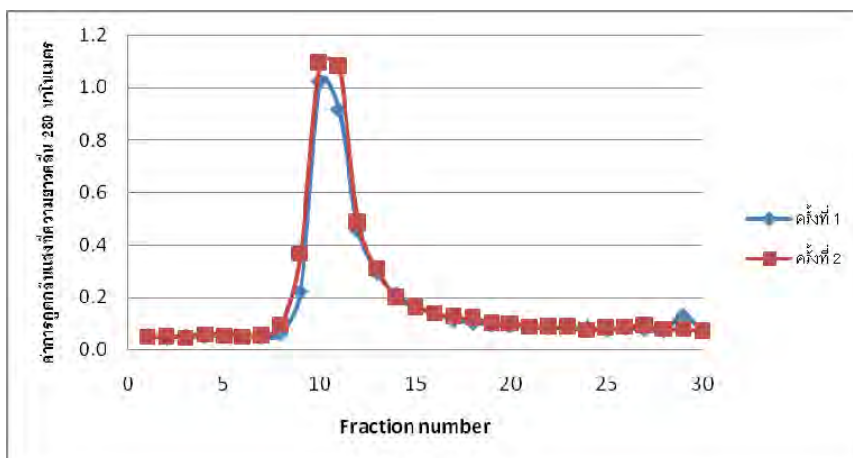
เจือจาง/ แอนติบอดี หมายเลขอ	ค่าการดูดกลืนแสง ที่ความยาวคลื่น 450 นาโนเมตร			เจือจาง/ แอนติบอดี หมายเลขอ	ค่าการดูดกลืนแสง ที่ความยาวคลื่น 450 นาโนเมตร		
	8	25	43		8	25	43
-	1.89	1.70	1.94	1:64	1.74	1.11	1.66
1:2	1.76	1.60	1.91	1:128	1.56	0.97	1.61
1:4	1.76	1.55	1.88	1:256	1.36	0.76	1.47
1:8	1.81	1.47	1.81	1:512	1.12	0.54	1.14
1:16	1.80	1.41	1.78	1:1,024	0.75	0.36	0.79
1:32	1.76	1.29	1.71	media	0.07	0.07	0.06



รูปที่ 7 แสดงค่าการดูดกลืนแสงที่ความยาวคลื่น 280 นาโนเมตรของโคลนหมายเลขอ 8



รูปที่ 8 แสดงค่าการดูดกลืนแสงที่ความยาวคลื่น 280 นาโนเมตรของโคลนหมายเลขอ 25



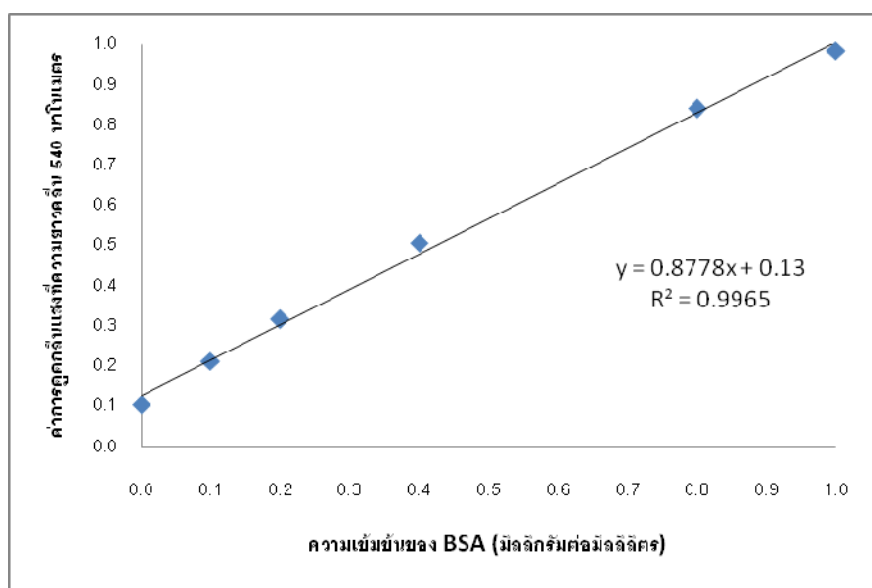
รูปที่ 9 แสดงค่าการดูดกลืนแสงที่ความยาวคลื่น 280 นาโนเมตรของโคลนหมายเลขอ 43

### 3.4.6 การหาปริมาณโปรตีนของโมโนโคลนแอนติบอดีโดยวิธี BCA หลังจากทำให้บริสุทธิ์โดยวิธี affinity chromatography

หาปริมาณโปรตีนของแอนติบอดีโดยวิธี BCA โดยใช้สารละลายน้ำโปรตีน BSA ความเข้มข้น 0 ถึง 1 มิลลิกรัมต่อมิลลิลิตร เป็นสารละลายน้ำโปรตีนมาตรฐาน สำหรับทำการฟอกมาตรฐาน ดังแสดงในตารางที่ 12 และรูปที่ 10 และทำการเจือจางสารละลายน้ำอย่างเป็น 1:2 , 1:4 และ 1:8 เพื่อนำค่า  $A_{540}$  มาคำนวณหาปริมาณโปรตีนจากกราฟมาตรฐาน ได้ผลดังแสดงในตารางที่ 13 และได้ทำการทดสอบหา dilution ที่เหมาะสม โดยวิธี indirect ELISA สำหรับใช้ในการทดสอบปริมาณของแอนติบอดีหลังจากทำให้บริสุทธิ์โดยวิธี affinity chromatography ได้ผลการทดลองดังแสดงในตารางที่ 14

ตารางที่ 12 แสดงค่าการดูดกลืนแสงที่ความยาวคลื่น 540 นาโนเมตร ของสารละลายนิโตรีนมาตรฐาน BSA

ความเข้มข้นของ BSA (มิลลิกรัมต่อมิลลิลิตร)	ครั้งที่ 1	ครั้งที่ 2	ค่าเฉลี่ย
0	0.106	0.104	0.105
0.1	0.217	0.210	0.214
0.2	0.322	0.314	0.318
0.4	0.508	0.510	0.509
0.8	0.829	0.857	0.843
1.0	1.005	0.967	0.986



รูปที่ 10 แสดงกราฟมาตรฐานสำหรับการหาปริมาณโปรตีนโดยวิธี BCA

ตารางที่ 13 แสดงค่าปริมาณโปรตีนของโคลนหมายเลข 8 ,25 และ 43 ที่ได้จากวิธี BCA

แอนติบอดี หมายเลข	เจือจาง	ครั้งที่ 1	ครั้งที่ 2	ค่าเฉลี่ย	ปริมาณโปรตีน (มิลลิกรัมต่อมิลลิลิตร)	ค่าเฉลี่ย
8	1:2	0.683	0.697	0.690	1.28	
	1:4	0.388	0.386	0.387	1.17	1.17
	1:8	0.247	0.247	0.247	1.07	
25	1:2	0.562	0.573	0.568	1.00	
	1:4	0.350	0.351	0.351	1.00	0.99
	1:8	0.236	0.233	0.235	0.96	
43	1:2	0.704	0.693	0.699	1.30	
	1:4	0.396	0.396	0.396	1.21	1.20
	1:8	0.250	0.245	0.248	1.08	

ตารางที่ 14 แสดงค่าการดูดกลืนแสงที่ความยาวคลื่น 450 นาโนเมตร จากการทดสอบโคลนหมายเลขอ 8 ,25 และ

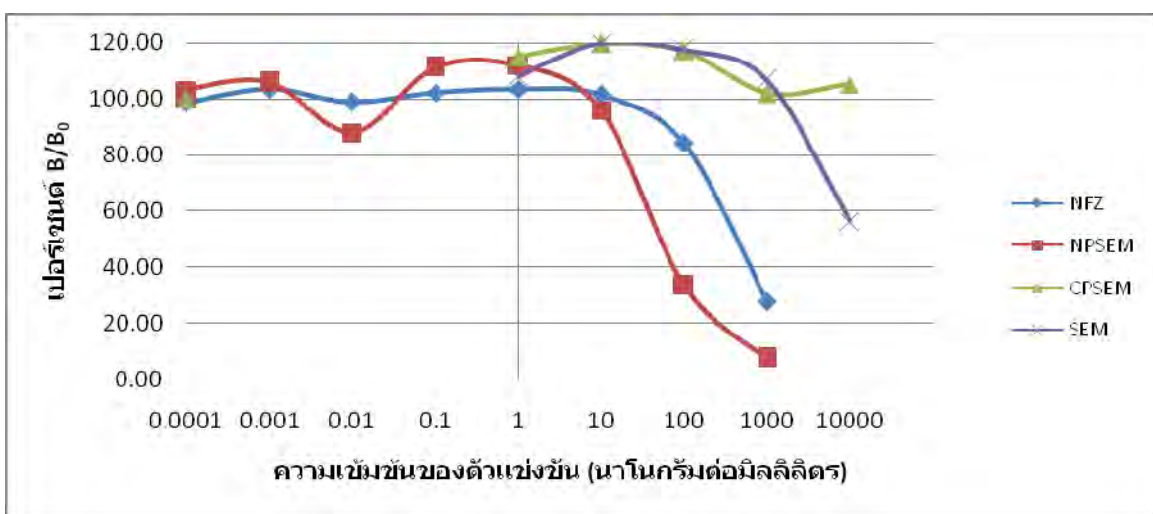
#### 43 หลังจากทำให้บริสุทธิ์โดยวิธี indirect ELISA

เจือจาง/ แอนติบอดี หมายเลขอ	ค่าการดูดกลืนแสง ที่ความยาวคลื่น 450 นาโนเมตร			เจือจาง/ แอนติบอดี หมายเลขอ	ค่าการดูดกลืนแสง ที่ความยาวคลื่น 450 นาโนเมตร		
	8	25	43		8	25	43
1:500	1.54	1.31	1.17	1:16,000	0.18	0.14	0.11
1:1,000	1.28	0.86	0.66	1:32,000	0.10	0.11	0.09
1:2,000	0.86	0.51	0.37	1:64,000	0.09	0.09	0.09
1:4,000	0.58	0.32	0.23	1:128,000	0.11	0.07	0.09
1:8,000	0.31	0.20	0.15	1:256,000	0.08	0.07	0.08

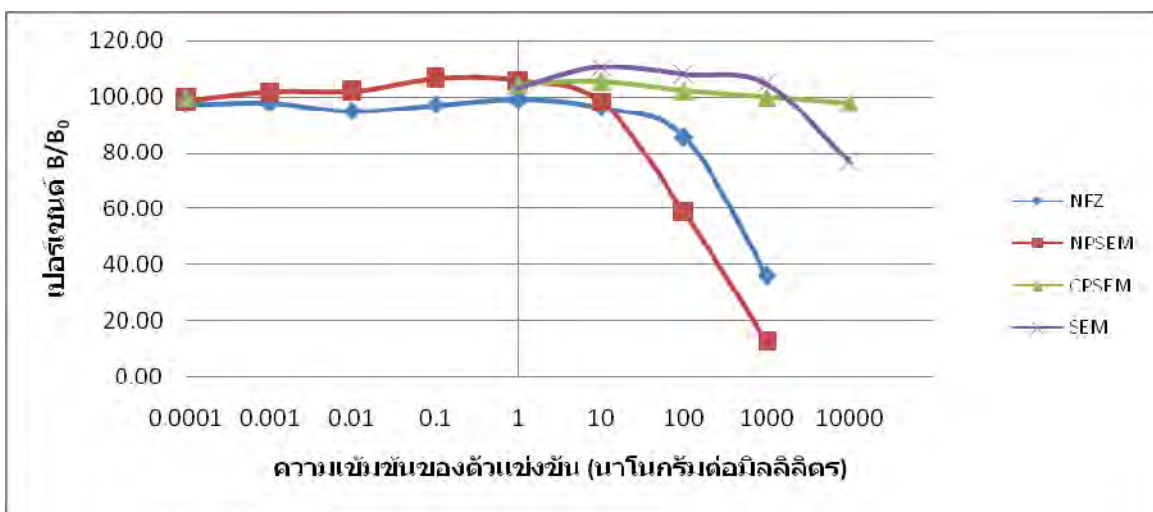
#### 3.4.7 การทดสอบประสีทิกภาพของแอนติบอดีหลังจากทำให้บริสุทธิ์โดยวิธี affinity chromatography

นำโคลนทั้ง 3 หมายเลขอ คือ 8 ,25 และ 43 มาทดสอบความจำเพาะต่อสาร 4 ตัว คือ NFZ ,NPSEM

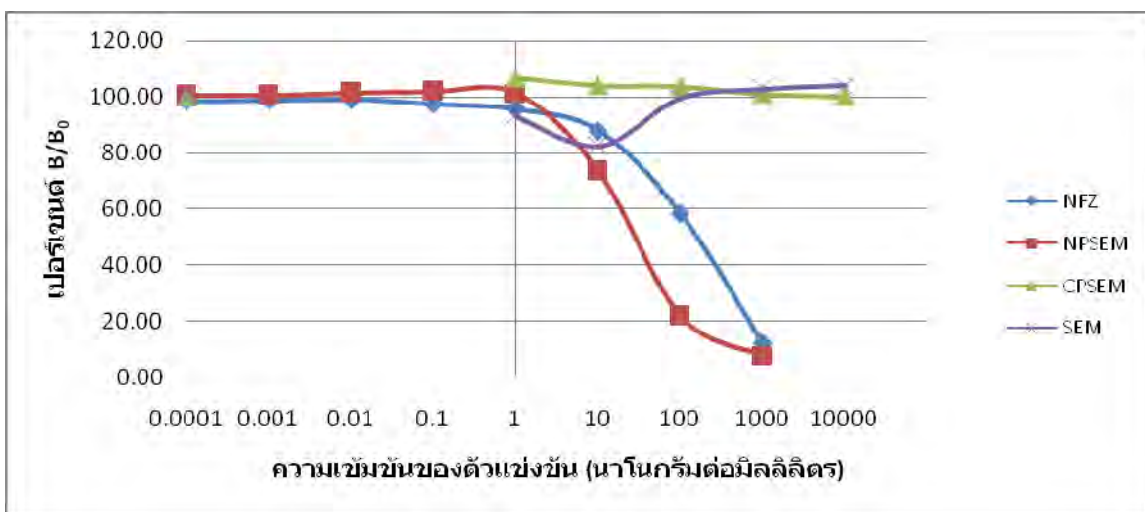
,CPSEM และ SEM ด้วยวิธี indirect competitive ELISA โดยประมาณเข้มข้นของสารเป็น 10,000 ,1,000 ,100 ,10 ,1 ,0.1 ,0.01 ,0.001 ,0.0001 และ 0 นาโนกรัมต่อมิลลิลิตร ตามลำดับ ผสมกับโมโนโคลนแอนติบอดีที่เจือจาง นำค่าการดูดกลืนแสงที่ได้มาสร้างกราฟ ดังแสดงในรูปที่ 11 – 13 จากนั้นคำนวนหาค่า  $IC_{50}$  จากกราฟ ได้ผลดังแสดงในตารางที่ 15



รูปที่ 11 แสดงการทดสอบความจำเพาะของคลื่นหมายเลข 8 ต่อสาร NFZ ,NPSEM ,CPSEM และ SEM



รูปที่ 12 แสดงการทดสอบความจำเพาะของคลื่นหมายเลข 25 ต่อสาร NFZ ,NPSEM ,CPSEM และ SEM



รูปที่ 13 แสดงการทดสอบความจำเพาะของโคลนหมายเลข 43 ต่อสาร NFZ ,NPSEM ,CPSEM และ SEM

ตารางที่ 15 แสดงค่า  $IC_{50}$  และค่า LOD จากการทดสอบความจำเพาะของโคลนหมายเลข 8 ,25 และ 43 ต่อสาร NFZ ,NPSEM ,CPSEM และ SEM

โคลนตัวบอธี หมายเลข	NFZ		NPSEM		CPSEM		SEM	
	$IC_{50}$ (นาโนกรัม ต่ำ มิลลิลิตร)	LOD (นาโนกรัม ต่ำ มิลลิลิตร)	$IC_{50}$ (นาโนกรัม ต่ำ มิลลิลิตร)	LOD (นาโนกรัม ต่ำ มิลลิลิตร)	$IC_{50}$ (นาโนกรัม ต่ำ มิลลิลิตร)	LOD (นาโนกรัม ต่ำ มิลลิลิตร)	$IC_{50}$ (นาโนกรัม ต่ำ มิลลิลิตร)	LOD (นาโนกรัม ต่ำ มิลลิลิตร)
8	572.90	8.11	56.77	2.96	> 10,000	-	> 10,000	-
25	903.60	15.52	134.90	4.57	> 10,000	-	> 10,000	-
43	142.10	0.83	23.75	0.50	> 10,000	-	> 10,000	-

#### 4. สรุปและอภิปรายผลการทดลอง (Discussion)

ในการเตรียมแอนติเจนสำหรับนิยดกระตุ้นหนูทดลอง และใช้สำหรับเคลือบจาน 96 หลุม ในการทดสอบ ELISA โดยการเปลี่ยน SEM ให้อยู่ในรูปอนุพันธ์ CPSEM และเข้ามเข้ากับโปรตีนพาราหีคือ BSA และ OVA ให้เป็น CPSEM-BSA และ CPSEM-OVA จากนั้นตรวจหาปริมาณโปรตีน โดยวิธี BCA มีปริมาณโปรตีนเท่ากับ 1.63 และ 2.53 มิลลิกรัมต่อมิลลิลิตร ตามลำดับ หลังทำการนิยดกระตุ้นหนูทดลองด้วย CPSEM-BSA บริมาณ 50 ไมโครกรัมต่อครั้ง หลังการนิยดกระตุ้น 4 ครั้ง ทำการตรวจวัดระดับการสร้างแอนติบอดีในชีรัมหนู โดยวิธี indirect ELISA ซึ่งเคลือบจาน 96 หลุม ด้วย CPSEM-OVA พบร่วมกับหนูมีการสร้างแอนติบอดีในระดับสูง เมื่อทดสอบแอนติบอดีในชีรัมหนู โดยวิธี indirect competitive ELISA พบร่วม แอนติบอดีสามารถจับกับ NPSEM ในรูปอิสระได้ดี หลังทำการลดลงรวมเซลล์ม้ามกับมัยโคลามาเซลล์ ทั้ง 3 ครั้ง ได้ไซร์โมมาเซลล์ถึง 90 เปอร์เซนต์ และคัดเลือกโคลนที่ผลิตแอนติบอดีต่อ NPSEM ได้ 61 หลุม ทำการ subclone เพื่อให้ได้ในโคลน โดยวิธี limiting dilution จำนวน 3 รอบ คัดเลือกโคลนที่ยังคงผลิตแอนติบอดีต่อ NPSEM ไว้ จำนวน 22 โคลน จากเซลล์หลุมตัน 11/10G และ 12/1A ในโคลนออลแอนติบอดีที่ได้นี้ ทุกโคลนสามารถจับกับ NFZ ซึ่งเป็นยาตั้งต้น และ NPSEM ในรูปอนุพันธ์ สำหรับใช้ตรวจหาสารตกค้าง โคลนที่ได้จากเซลล์หลุมตัน 11/10G จะสามารถจับกับ NPSEM ได้ดีกว่าโคลนที่ได้จากเซลล์หลุมตัน 12/1A และแอนติบอดีที่ได้เป็นชนิด IgG<sub>3</sub> ส่วนโคลนที่ได้จากเซลล์หลุมตัน 12/1A เป็นชนิด IgG<sub>3</sub> และ IgM

จากโคลนที่ได้เหล่านี้จึงทำการคัดเลือกโคลน 3 โคลน จากเซลล์หลุมตัน 11/10G และ 12/1A โดยเลือกจากโคลนที่สามารถจับกับ NPSEM ได้ดี คือ มีค่า IC<sub>50</sub> ต่ำที่สุด ได้แก่ โคลนหมายเลข 8 และ 43 จากเซลล์หลุมตัน 11/10G ซึ่งมีค่า IC<sub>50</sub> เท่ากับ 13.9 และ 13.1 นาโนกรัมต่อมิลลิลิตร ตามลำดับ และจับกับ NFZ มีค่า IC<sub>50</sub> เท่ากับ 121.5 และ 131.1 นาโนกรัมต่อมิลลิลิตร ตามลำดับ สำหรับโคลนหมายเลข 25 จากเซลล์หลุมตัน 12/1A ซึ่งจับกับ NPSEM และ NFZ ได้ดี มีค่า IC<sub>50</sub> เท่ากับ 50.3 และ 145.2 นาโนกรัมต่อมิลลิลิตร ตามลำดับ จากนั้นนำโคลนทั้ง 3 โคลน ได้แก่ โคลนหมายเลข 8, 25 และ 43 มาทำให้บริสุทธิ์โดยวิธี affinity chromatography และหาปริมาณโปรตีนได้เท่ากับ 1.17, 0.99 และ 1.20 มิลลิกรัมต่อมิลลิลิตร ตามลำดับ และทำการทดสอบหากความจำเพาะของโคลนหมายเลข 8, 25 และ 43 ต่อสาร NPSEEM และ NFZ คือครั้ง ได้ค่า IC<sub>50</sub> และค่า LOD ต่อสาร NPSEM ของโคลนหมายเลข 8 เท่ากับ 56.77 และ 2.96 นาโนกรัมต่อมิลลิลิตร โคลนหมายเลข 25 เท่ากับ 134.90 และ 4.57 นาโนกรัมต่อมิลลิลิตร และโคลนหมายเลข 43 เท่ากับ 23.75 และ 0.50 นาโนกรัมต่อมิลลิลิตร สำหรับค่า IC<sub>50</sub> และค่า LOD ต่อสาร NFZ นั้น โคลนหมายเลข 8 มีค่าเท่ากับ 572.90 และ 8.11 นาโนกรัมต่อมิลลิลิตร โคลนหมายเลข 25 มีค่าเท่ากับ 903.60 และ 15.52 นาโนกรัมต่อมิลลิลิตร และโคลนหมายเลข 43 มีค่าเท่ากับ 142.10 และ 0.83 นาโนกรัมต่อมิลลิลิตร โดยเมื่อคูณจากค่า IC<sub>50</sub> และค่า LOD ของโคลนทั้ง 3 หมายเลย พบร่วมกับ 3 โคลนมีความจำเพาะต่อสาร NPSEM มากกว่า NFZ โดยโคลนหมายเลข 43 มีความไวมากที่สุด

## บรรณานุกรม (Biology)

มาตรฐานสินค้าเกษตรและอาหารแห่งชาติ(มอกช.9007-2548).2551.เรื่องข้อกำหนดด้าน ความ ปลอดภัยสินค้า  
เกษตรและอาหารของสำนักงานมาตรฐานสินค้าเกษตรและอาหารแห่งชาติ กระทรวงเกษตรและสหกรณ์

ประกาศสำนักงานคณะกรรมการอาหารและยา.2546.หลักเกณฑ์ เงื่อนไข และวิธีการตรวจวิเคราะห์การปนเปื้อน  
สารเคมีบางชนิดในอาหาร

Bryan, G. T. 1978. Nitrofurans: chemistry, metabolism, mutagenesis, and carcinogenesis. RavenPress,  
New York ; 3-9.Commission Regulation(EC)1442(1995). Official Journal of the European Communities,  
No.L143:26.

Commission Decision 2003/181, Official Journal of the European Communities, 2003,L71:17.

Cooper, K. M.,Caddell, A.,Elliott, T. C.,and Kennedy, D.G.2004. Production and characterisation of polyclonal antibodies to a derivative of 3-amino-2-oxazolidinone, a metabolite of the nitrofuran furazolidone. *Analytica Chimica Acta.*, 520 : 79-86.

Diblikova, I., Cooper, K.M., Kennedy, D.G., Franek, M. 2005. Monoclonal antibody-based ELISA for the quantification of nitrofuran metabolite 3-amino-2-oxazolidinone in tissues using a simplified sample preparation. *Analytica Chimica Acta*, 540: 285-292.

Gottschall, D.W.,and Wang, R.1995. Depletion and Bioavailability of [14C] Furazolidone Residues in Swine Tissues. *Journal of Agricultural and Food Chemistry*, 43 : 2520-5.

Hermanson, G.T. 1996. Bioconjugate techniques.,1 st edition, Academic Press : San Diego Hoogenboom, L.A.P.,Kammen, van M.,Berghmans, M.C.J.,Koeman, J.H.,and Kuiper, H.A.1991. The use of pig hepatocytes to study the nature of protein-bound metabolites of furazolidone: a new analytical method for their detection. *Food and Chemical Toxicology.*, 29 : 321-8.

Hoogenboom, L.A.P.,Tomassini, O.,Oorsprong, M.B.M.,and Kuiper, H.A.1991. Use of pig hepatocytes to study the inhibition of monoamine oxidase by furazolidone. *Food and Chemical Toxicology*, 29 : 185-91.

Hoogenboom, L.A.P., Berghmans, M.C.J., Polman, T.H.G., Parker, R., and Shaw, I.C. 1992. Depletion of protein-bound furazolidone metabolites containing the 3-amino-2-oxazolidinone side-chain from liver, kidney and muscle tissues from pigs. *Food Additives and Contaminants*, 9 : 623.

Kohler, M., and Milstein, C. 1975. Continuous cultures of fused cells secreting antibody of predefined specificity. *Nature*, 256 : 495-7.

Kumar, L.; Toothill, J. R.; and Ho, K. B. 1994. Determination of nitrofuran residues in poultry muscle tissues and eggs by liquid chromatography. *J. AOAC Int.* 77(3); 591-595.

Leitner, A., Zollner, P., and Lindner, W. 2001. Determination of the metabolites of nitrofuran antibiotics in animal tissue by high-performance liquid chromatography-tandem mass spectrometry. *Journal of Chromatography A*, 939 : 49-58.

McCracken, R.J., and Kennedy, D.G. 1997. Determination of the furazolidone metabolite, 3-amino-2-oxazolidinone, in porcine tissues using liquid chromatography-thermospray mass spectrometry and the occurrence of residues in pigs produced in Northern Ireland. *Journal of Chromatography B*, 691: 87-94.

## ภาคผนวก (Appendix)

### “ເຂົ້າໃຈໂດນາໂຄລນທີ່ທຳການເກີບແຂ່ງແຂ້ງໃນໄຕຣເຈນເຫລວ

ຊື່ໂຄລນ	ໜາຍເລຂ	ຊື່ໂຄລນ	ໜາຍເລຂ
11/10G/6H/7D/3C	1	12/1A/12B/5E/12E	26
11/10G/6H/7D/4B	2	12/1A/12B/5E/12G	27
11/10G/6H/7G/8D	3	4/5A/1H/3H/2B	28
11/10G/6H/7G/8G	4	4/5A/1H/8C/7B	29
11/10G/6H/7H/10B	5	4/5A/1H/8C/7D	30
11/10G/6H/7H/10F	6	4/5A/1H/8C/7E	31
11/10G/6H/8D/3C	7	4/5A/1H/8C/8B	32
11/10G/6H/8D/3D	8	4/5A/1H/11B/9G	33
12/1A/12B/3E/4A	14	4/5A/1H/11B/10C	35
12/1A/12B/3E/4B	15	4/5A/1H/11B/11E	36
12/1A/12B/3G/7B	16	11/10G/5C/6A/2G	37
12/1A/12B/3G/8D	17	11/10G/5C/6A/3F <sub>1</sub>	38
12/1A/12B/4C/11B	18	11/10G/5C/6F/5D	39
12/1A/12B/4C/12C	19	11/10G/5C/10F/5E	40
12/1A/12B/4F/2G	20	11/10G/5C/2F	41
12/1A/12B/4F/3G	21	11/10G/8E/4E	42
12/1A/12B/4G/6B	22	11/10G/5C/4D <sub>1</sub>	43
12/1A/12B/4G/6D	23	11/10G/7D/1G	47
12/1A/12B/5B/9D	24	11/10G/7D/12H	48
12/1A/12B/5B/9F	25	11/10G/7D/3E	49

## ประวัติผู้รับผิดชอบแผนงานวิจัย

### 1. หัวหน้าโครงการ

1.1 ชื่อ-สกุล นายอุณมาศ บัวเขียว

Mr. Anumart Buakeaw

1.2 เลขที่ประจำตัวประชาชน 3 8099 00658 39 3

1.3 ตำแหน่งทางวิชาการ นักวิจัย

1.4 หน่วยงาน สถาบันวิจัยเทคโนโลยีชีวภาพและวิศวกรรมพัฒนาศาสตร์ จุฬาลงกรณ์มหาวิทยาลัย

อาคารสถาบัน 3 เขตปทุมวัน กรุงเทพฯ 10330

โทรศัพท์

02-218-8076

โทรสาร

02-253-3543

E-mail

[anumart.b@chula.ac.th](mailto:anumart.b@chula.ac.th)

### 1.5 ประวัติการศึกษา

มหาวิทยาลัย	ปริญญา	สาขาวิชา	ปีที่ได้รับ พ.ศ.
จุฬาลงกรณ์มหาวิทยาลัย	ปริญญาโท	เทคโนโลยีชีวภาพ	2545
จุฬาลงกรณ์มหาวิทยาลัย	ปริญญาตรี	ชีวเคมี	2541

### 1.6 สาขาวิชาการที่มีความชำนาญพิเศษ

เทคโนโลยีชีวภาพ การผลิตโมโนคลอน抗原ติบอดี การเตรียมชุดตรวจ ELISA และการทดสอบประสิทธิภาพชุด

ตรวจ

### 1.7 ประสบการณ์ที่เกี่ยวข้องกับการบริหารงานวิจัยทั้งภายในและภายนอกประเทศ

1.7.1 ผู้อำนวยการแผนงานวิจัย : ไม่มี

1.7.2 หัวหน้าโครงการวิจัย : ไม่มี

### 1.7.3 งานวิจัยที่ทำเสร็จแล้ว (ระบุแหล่งพิมพ์และปีที่พิมพ์)

1. Puthong, S., Rojpibulstit, P. and Buakeaw, A. (2009) Cytotoxic Effect of Hep88 mAb: A Novel Monoclonal Antibody Against Hepatocellular Carcinoma. *Thammasat Int. J. Sc. Tech.* 14(1): 95 – 104.
2. Somwong, P., Suttisri, R., and Buakeaw, A. (2011). A new 1,3-diketofriedelane triterpene from Salacia verrucosa. *Fitoterapia*. 82 : 1047 -1051.

### 1.7.4 งานวิจัยที่กำลังทำ

1. การพัฒนาชุดตรวจด้วยวิธีเอนไซม์ลิงค์คิมมูโนชอร์เบนท์เอกสเตรย์ของอนุพันธ์ของสารในต่อฟูแวน
2. การพัฒนาชุดตรวจด้วยวิธีเอนไซม์ลิงค์คิมมูโนชอร์เบนท์เอกสเตรย์ของอนุพันธ์ของสารในต่อฟูแวน: ฉบับใหม่ในไซเดนท์อิน
3. การพัฒนาแบบทดสอบสำหรับจำแนกกลุ่มฟลูอโบริวิโนในผลิตภัณฑ์อาหาร
4. การพัฒนาชุดตรวจวิเคราะห์โพเรเจสเทกโวนในน้ำนมโดยด้วยวิธีเอนไซม์ลิงค์คิมมิวโนชอร์เบนท์เอกสเตรย์

### 2. ผู้ร่วมโครงการคนที่ 1

2.1 ชื่อ-สกุล นางสาวจันทร์ ภู่ทอง

Mrs.Songchan Puthong

2.2 เลขที่ประจำตัวประชาชน 3 2001 01339 43 0

2.3 ตำแหน่งทางวิชาการ นักวิจัย ระดับ ชำนาญการพิเศษ

2.4 หน่วยงาน สถาบันวิจัยเทคโนโลยีวิภาวดีและวิศวกรรมพันธุศาสตร์ จุฬาลงกรณ์มหาวิทยาลัย

อาคารสถาบัน 3 เขตปทุมวัน กรุงเทพฯ 10330

โทรศัพท์ 02-218-8076 โทรสาร 02-253-3543

E-mail [songchan.p@chula.ac.th](mailto:songchan.p@chula.ac.th)

## 2.5 ประวัติการศึกษา

มหาวิทยาลัย	ปริญญา	สาขาวิชา	ปีที่ได้รับ พ.ศ.
จุฬาลงกรณ์มหาวิทยาลัย	วิทยาศาสตรบัณฑิต	เทคโนโลยีชีวภาพ	2539
มหาวิทยาลัยบูรพา	วิทยาศาสตรบัณฑิต	ชีววิทยา	2529

## 2.6 สาขาวิชาการที่มีความชำนาญพิเศษ

การเพาะเลี้ยงเซลล์มะเร็ง

การเตรียมและผลิตโมโนคลอนอลแอนติบอดี้

การทดสอบฤทธิ์ของสารสมุนไพรในการยังยั่งเซลล์มะเร็ง

## 2.7 ประสบการณ์ที่เกี่ยวข้องกับการบริหารงานวิจัยทั้งภายในและภายนอกประเทศ

2.7.1 ผู้อำนวยการแผนงานวิจัย : ไม่มี

2.7.2 หัวหน้าโครงการวิจัย : ทดสอบฤทธิ์ของโมโนคลอนอลแอนติบอดี้ในการทำลายเซลล์มะเร็งตับโดยการตรวจด้วยวิธี MTT Colorimetric Assay

2.7.3 งานวิจัยที่ทำเสร็จแล้ว (ระบุแหล่งพิมพ์และปีที่พิมพ์)

- Roengsumran, S., Petsom, A., Kuptiyanuwat, N., Nilaivan, T., Ngamrojnavanich, N., Chaichantipyuth, C. and Puthong, S. (2001) Cytotoxic labdane diterpenoids from *Croton oblongifolius*. *Phytochemistry* 56: 103 – 107.
- Chaichantipyuth, C., Tiyaworanon, S., Mekaroonreung, S., Ngamrojnavanich, N., Roengsumran, S., Puthong, S., Petsom, A. and Ishikawa, T. (2001) Oxidized heptenes from flowers of *Melodorum fruticosum*. *Phytochemistry* 58: 1311 – 1315.

3. Roengsumran, S., Musikul, K., Petsom, A., Vilaivan, T., Sangvanich, P., Pornpakakul, S., Puthong, S., Chaichantipyuth, C., Jaiboon, N., Chaichit, N. (2002) Croblonhifolin, a new anticancer Clerodane from *Croton oblongifolius*. *Planta Medica* 68: 274 – 277.
4. Ngamrojanavanich, N., Tonsiengsom, S., Lertpratchya, P., Roengsumran, S., Puthong, S., and Petsom, A. (2003) Diterpenoids from the Stem Barks of *Croton robustus*. *Archives of Pharmacal Research* 26(11): 898 – 901.
5. Roengsumran, S., Pornpakakul, S., Muangsin, N., Sangvanich, P., Nhujak, T., Singtothong, P., Chaichit, N., Puthong, S., Petsom, A. (2004) New Halimane Diterpenoids from *Croton oblongifolius*. *Planta Med* 70:1 - 3.
6. Chaichantipyuth , C., Taweechotipatr, P., Petsom, A., Puthong, S., Roengsumran,S., Watanabe, T. and Ishikawa, T. Chemical constituents of *Croton Oblongifolus*. เอกสาร Proceeding ของ JSPS-NRCT.
7. Tungpradabkul, S., Sandee, D., Puthong, S. and Laohathai, K. (2005) Construction of scFv derived from a tumor-associated monoclonal antibody having tumoural activity on human hepatocellular carcinoma. *Molecular Immunology* 42: 713 – 719.
8. Chaichatipyuth, C., Petsom, A., Taweechotipatr, P., Muangsin, N., Chaichit, N. Puthong, S., Roengsumran, S., Kawahata, M., Watanabe, T. and Ishikawa, T.(2005) New labdane-type diterpenoids from *Croton oblongifolius* and their cytotoxic activity. *HETEROCYCLES* 65(4): 809 – 822.
9. Pornpakakul, S., Liangsakul, J., Ngamrojanavanich, N., Roengsumran, S., Sihanonth, P., Piapukiew, J., Sangvichien, E., Puthong, S. and Petsom, A. (2006) Cytotoxic Activity of Four Xanthones from *Emericella variecolor* an Endophytic Fungus Isolated from *Croton oblongifolius*. *Archives of Pharmacal Research* 29(2): 140 – 144.
10. Mattanavee, W., Suwantong, O., Puthong, S., Bunaprasert, T., Hoven, P.V. and Supaphol, P. (2009) Immobilization of Biomolecules on the Surface of Electrospun Polycaprolactone Fibrous Scaffolds for Tissue Engineering. *ACS APPLIED Materials & Interfaces* 1(5): 1076 – 1085.

11. Pimpitak, U., Puthong, S., Komolpis, K., Petsom, A. and Palaga, T. (2009) Development of a monoclonal antibody-based enzymed-linked immunosorbent assay for detection of the furaltadone metabolite, AMOZ, in fortified shrimp. Food Chemistry 116: 785 – 791.

12. Puthong, S., Rojpibulstit, P. and Buakeaw, A. (2009) Cytotoxic Effect of Hep88 mAb: A Novel Monoclonal Antibody Against Hepatocellular Carcinoma. Thammasat Int. J. Sc. Tech. 14(1): 95 – 104.

13. Umthong, S., Puthong, S. and Chanchao, C. (2009) *Trigona laeviceps* Propolis from Thailand : Antimicrobial, Antiproliferative and Cytotoxic Activities. The American Journal of Chinese Medicine. 37(5): 855 – 865.

14. Roengsumran, S., Pata, P., Ruengraweewat, N., Tummatorn, J., Pornpakakul, S., Sangvanich, P., Puthong, S. and Petsom, A. (2009) New Cleistanthane Diterpenoids and 3,4-seco-Cleistanthane Diterpenoids from *Croton cblongifolius*. Chemistry of Natural Compounds. 45(5): 641 – 646.

15. Komolpis, K., Udomchokmongkol, C., Puthong, S. and Palaga, T. (2010) Comparative production of a monoclonal antibody specific for enrofloxacin in a stirred-tank bioreactor. Journal of Industrial and Engineering Chemistry. 16: 567 – 571.

#### 1.7.4 งานวิจัยที่กำลังทำ

1. การพัฒนาชุดตรวจด้วยวิธีเอนไซม์ลิงค์คอมมูโนนิซอร์เบนท์เอกสารแสดงของอนุพันธ์ของสารไว้ในต่อๆ แวน: อะมิโนไซเดน์โภคิน
  2. การพัฒนาแบบทดสอบสำหรับจำลองการตรวจสารกลุ่มฟลูอโตริโควินในulin ในผลิตภัณฑ์อาหาร
  3. การพัฒนาชุดตรวจวิเคราะห์เพรจิสเทกโกร์ในน้ำนมโดยวิธีเอนไซม์ลิงค์คอมมิวโนนิซอร์เบนท์เอกสาร

### 3. ผู้ร่วมโครงการคนที่ 2

### 3.1 ชื่อ-สกุล

นายกิตติ์นันท์ โภมลภิส

Mr. Kittinan Komolpis

3.2 เลขที่ประจำตัวประชาชน 3 1012 03241 97 0

3.3 ตำแหน่งทางวิชาการ ผู้ช่วยศาสตราจารย์

3.4 หน่วยงาน สถาบันวิจัยเทคโนโลยีชีวภาพและวิศวกรรมพัฒนาศาสตร์

จุฬาลงกรณ์มหาวิทยาลัย

อาคารสถาบัน 3 เขตปทุมวัน กรุงเทพฯ 10330

โทรศัพท์ 02-218-8078

โทรสาร 02-253-3543

E-mail

[kittinan.k@chula.ac.th](mailto:kittinan.k@chula.ac.th)

### 3.5 ประวัติการศึกษา

มหาวิทยาลัย	ปริญญา	สาขาวิชา	ปีที่ได้รับ พ.ศ.
University of Michigan สหรัฐอเมริกา	ปริญญาเอก	Chemical Engineering	2545
University of Michigan สหรัฐอเมริกา	ปริญญาโท	Chemical Engineering	2539
จุฬาลงกรณ์มหาวิทยาลัย	ปริญญาโท	ชีวเคมี	2535
จุฬาลงกรณ์มหาวิทยาลัย	ปริญญาตรี	ชีวเคมี	2532

### 3.6 สาขาวิชาการที่มีความชำนาญพิเศษ

เทคโนโลยีชีวภาพ การผลิตโมโนโคลนอลแอนติบอดี้ การเตรียมมาตรฐาน ELISA และการทดสอบประสิทธิภาพมาตรฐาน

### 3.7 ประสบการณ์ที่เกี่ยวข้องกับการบริหารงานวิจัยทั้งภายในและภายนอกประเทศ

3.7.1 ผู้อำนวยการแผนงานวิจัย : ไม่มี

3.7.2 หัวหน้าโครงการวิจัย : การผลิตกรดมานูโรโดยยีสต์ตึ่งควบคู่กับการแยกผลิตภัณฑ์ด้วยเรซินแลกเปลี่ยนไออกน์ (ได้วิจัยสนับสนุนจากกระทรวงวิทยาศาสตร์และเทคโนโลยี และสำนักงานพัฒนาวิทยาศาสตร์และเทคโนโลยีแห่งชาติ ปีพ.ศ. 2549)

การสกัดและทำให้บริสุทธิ์ของเจลตินจากเศษหนังสัตว์ใหญ่ที่ยังไม่ผ่านการฟอกโดยใช้อัลคาไลน์โปรดีเจส (ได้รับทุนอุดหนุนงบประมาณแผ่นดิน ปีพ.ศ. 2548 และ 2549)

การพัฒนาชุดตรวจสารเคลนบูเทอรอง ชุดปฏิมาณ浊 นอร์ฟลอกซ่าชีน และเอนโพรฟลอกซ่าชีนด้วยวิธี Enzyme-linked Immunosorbent Assay (ELISA) และ Immunochromatographic Assay (ได้รับทุนอุดหนุนจากสำนักงานคณะกรรมการวิจัยแห่งชาติ ปีพ.ศ. 2549-2551)

การพัฒนาชุดตรวจด้วยวิธีเอนไซม์ลิงค์คอมมูโนชอร์เบนท์เจสเสย์ของอนุพันธ์ของสารในต่อฟูแรน: 3-อะมิโน-2-ออกซ่าไฮดีโนน และ 3-อะมิโน-5-มอร์ฟอลีโนเมทิล-2-ออกซ่าไฮดีโนน (ได้รับทุนอุดหนุนงบประมาณแผ่นดิน ปีพ.ศ. 2550-2552)

### 3.7.3 งานวิจัยที่ทำเสร็จแล้ว (ระบุแหล่งพิมพ์และปีที่พิมพ์)

1. Komolpis, K., Udomchokmongkol, C., Phutong, S. and Palaga, T. 2010. Comparative production of a monoclonal antibody specific for enrofloxacin in a stirred-tank bioreactor. Journal of Industrial and Engineering Chemistry 16: 567-571
2. Pimpitak U., Puthong, S., Komolpis, K., Petsom, A., Palaga T. (2009) Development of a monoclonal antibody-based enzyme-linked immunosorbent assay for detection of the furaltadone metabolite, AMOZ, in fortified shrimp samples. Food Chemistry 116: 785-791
3. Damrongsakkul S., Ratanathammapan K., Komolpis K. and Tanthanapichakoon W. 2008. Enzymatic hydrolysis of rawhide using papain and neurase. Journal of Industrial and Engineering Chemistry, 14: 202-206
4. Komolpis K., Gulari E. 2002. Light-directed simultaneous synthesis of oligopeptides on microarray substrate using a photogenerated acid. Biotechnology Progress, 18:641-646.
5. Wang H.Y., Komolpis K., Kaufman P.B., Malakul P., Shotipruk A. 2001. Permeabilization of metabolites from biologically viable soybeans (*Glycine max*). Biotechnology Progress; 17:421-430.
6. Wu E., Komolpis K., Wang H.Y. 1999. Chemical extraction of indigo from *Indigofera tinctoria* while attaining biological integrity. Biotechnology Techniques, 13:567-569.
7. Komolpis K., Kaufman P.B., Wang H.Y. 1998. Chemical permeabilization and *in situ* removal of daidzein from biologically viable soybean (*Glycine max*) seeds. Biotec. Techniques, 12:697-700.

### 3.7.4 งานวิจัยที่กำลังทำ

1. การพัฒนาชุดตรวจด้วยวิธีเอนไซม์ลิงค์คอมมูโนชอร์เบนท์เอกสเตรย์ของอนุพันธ์ของสารไว้ในตราม้วน: ประเมินไนโตรแคนโนนิกอิน
2. การพัฒนาชุดตรวจสารแคลบูทารอลด้วยวิธีเอนไซม์ลิงค์คอมมูโนชอร์เบนท์เอกสเตรย์
3. การพัฒนาแบบทดสอบสำหรับการตรวจสารกลุ่มฟลูออโรคิวโนไลน์ในผลิตภัณฑ์อาหาร
4. การพัฒนาชุดตรวจวิเคราะห์โพเรเจสเทอโรนในน้ำนมโดยด้วยวิธีเอนไซม์ลิงค์คอมมิวนิชอร์เบนท์เอกสเตรย์

### 4. ผู้ร่วมโครงการคนที่ 3

#### 4.1 ชื่อ-สกุล

ดร. นันทิกา คงเจริญพร (ปานจันทร์)

Dr. Nanthika Khongchareonporn (Panchan)

#### 4.2 เลขที่ประจำตัวประชาชน 3 6399 00091 73 5

#### 4.3 ตำแหน่งทางวิชาการ อ้าวาร্ষ

#### 4.4 หน่วยงาน สถาบันวิจัยทศนิสัยีวภาพและวิศวกรรมพันธุศาสตร์

จุฬาลงกรณ์มหาวิทยาลัย

อาคารสถาบัน 3 เขตปทุมวัน กรุงเทพฯ 10330

#### โทรศัพท์

02-218-8078

#### โทรศัพท์

02-253-3543

#### E-mail

[nanthika.k@chula.ac.th](mailto:nanthika.k@chula.ac.th)

#### 4.5 ประวัติการศึกษา

ปีที่จบ การศึกษา	ระดับปริญญา	อักษรย่อ	สาขาวิชา	สถาบัน	ประเทศ
2539	ตรี	วท.บ.	ชีวเคมีและชีวเคมีเทคโนโลยี	มหาวิทยาลัยเชียงใหม่	ไทย
2542	โท	วท.ม.	เทคโนโลยีชีวภาพ	จุฬาลงกรณ์มหาวิทยาลัย	ไทย
2547	เอก*	วท.ด.	เทคโนโลยีชีวภาพ	จุฬาลงกรณ์มหาวิทยาลัย	ไทย

#### 4.6 สาขาวิชาที่มีความชำนาญ (แตกต่างจากภูมิการศึกษา) ระบุสาขาวิชาการ

Immunology: Monoclonal Antibody Production, Protein Purification

#### 4.7 ประสบการณ์ที่เกี่ยวข้องกับการบริหารงานวิจัยทั้งภายในและภายนอกประเทศ

4.7.1 ผู้อำนวยการแผนงานวิจัย – ไม่มี

4.7.2 หัวหน้าโครงการวิจัย

สายบัญชีคลินทรีจากเพรีองทราย

การผลิตในโนโคนอดแอนดิบอดีต่อเตตราไซคลินเพื่อพัฒนาชุด

ตรวจสอบด้วยวิธี เอนไซม์ลิงค์คอมมูโนซอร์เบนท์เอสเซย์ (ปีที่ 1)

4.7.3 งานวิจัยที่ทำเสร็จแล้ว

ผลงานวิจัยที่ตีพิมพ์ในวารสารนานาชาติ

1. Techaprempeecha S, Khongcharoenporn N, Chaicharoenpong C, Aranyakananda P, Chunhabandit S and Petsom A. 2011. Nutritional composition of farmed and wild sandworms, Perinereis nuntia. Animal Feed Science. 169:265-269

2. Khamjing W, Khongchareonporn N and Rengpipat S. 2011. Detection by using monoclonal antibodies of *Yersinia enterocolitica* in artificially contaminated pork. *Microbiology and Immunology*. 55: 605-615.
3. Panchan N, Sithigorngul P, Chaivisurhangkuru P, Longyant S, Sithigorngul W and Petsom A. 2005. Production of monoclonal antibodies specific to eyestalk neuropeptides of *Penaeus monodon* using sinus gland section and immunosuppression technique. *ScienceAsia*. 31: 29-35.
4. Panchan N, Bendena WG, Browser P, Lungchukiet P, Tobe SS, Sithigorngul W, Chaivisurhangkuru P, Rangsiruji A, Pewnim T and Sithigorngul P. 2003. Immunolocalization of allatostatin-like neuropeptides and their putative receptor in eyestalk of the giant tiger prawn *Penaeus monodon*. *Peptide*. 24(10):1563-1570.
5. Sithigorngul P, Panchan N, Chaivisurhangkuru P, Longyant S, Sithigorngul W and Petsom A. 2002. Differential expression of CMG peptide and crustacean hyperglycemic hormone (CHHs) in the eyestalk of the giant tiger prawn *Penaeus monodon*. *Peptide*. 23: 1934-1952
6. Sithigorngul P, Pupurm J, Krungkasem C, Longyant S, Panchan N, Chaivisurhangkuru P and Sithigorngul W. 2002. Four novel PYFs: members of NPY /PP peptide superfamily from the eyestalk of the giant tiger prawn *Penaeus monodon*. *Peptide*. 23: 1895-1906.
7. Sithigorngul P, Saraihongkum W, Longyant S, Panchan N, Sithigorngul W and Petsom A. 2001. Three more novel FMRFamide-like neuropeptide sequences from the giant freshwater prawn *Macrobrachium rosenbergii*. *Peptide*. 22 : 191-197.
8. Sithigorngul P, Panchan N, Vilaivan T, Sithigorngul W and Petsom. 1999. Immunochemical analysis and immunocytochemical localization of crustacean hyperglycemic hormone from the giant freshwater prawn *Macrobrachium rosenbergii*. *Comp Biochem Physiol B*. 124 : 73-80.

*Proceeding*

1. Noiprapai K, Khongchareonporn N and Rengpipat S. 2011. Production of monoclonal antibodies against *Vibrio parahaemolyticus*. The 23 Annual Meeting of the Thai Society for Biotechnology. February 1-2, 2012. Bangkok, Thailand.

2. Nuntanidvorakul P, Komolpis K and **Khongchareonporn N**. Production and characterization of monoclonal antibody against ciprofloxacin. 1<sup>st</sup> ASEAN Plus Three Graduate Research Congress. March 1-2, 2012. Chiang Mai, Thailand.
3. Wongtangprasert T, Palaga T, Komopis K and **Khongchareonporn N**. Development of oxytetracycline test kit using enzyme-linked immunosorbent assay technique. International Conference on Asia Agriculture and Animal (ICAAA 2011). July 2-3, 2011. Hong Kong.
4. Tesvichian S, Komolpis K, **Khongchareonporn N**, Puthong S, Pimpitak U and Buakeaw A. Development of tetracycline test kit using enzyme-linked immunosorbent assay technique. The 3th Technology and Innovation for Sustainable Development International Conference (TISD2010). 4-6 March 2010. Faculty of Engineering, Khon Kaen University, Thailand.
5. **Khongchareonporn N**, Komolpis K and Puthong S. Production and Characterization of monoclonal antibodies against oxytetracycline. The 1<sup>st</sup> CMU Graduate Research conference . 27th November 2009. Chiangmai University, Chiangmai, Thailand.
- 6 . Kanchanabanca C, Komolpis K and **Khongchareonporn N**. Production and characterization of monoclonal antibodies against tetracycline. 9<sup>th</sup> National Grad Research Conference. 14-15 March 2008. Burapha University, Bangsaen Chonburi, Thailand. p: 185.
7. Khamjing W, **Khongchareonporn N** and Rengpipat. Production of monoclonal antibodies against Yersinia enterocolitica. 9<sup>th</sup> National Grad Research Conference. 14-15 March 2008. Burapha University, Bangsaen Chonburi, Thailand. p: 120.
8. Kongkavitoon P, **Khongchareonporn N** and Komolpis K. Production and characterization of monoclonal antibodies against ractopamine. The 20<sup>th</sup> Annual Meeting and international Conference of the Thai Society for Biotechnology “TSB 2008 : Biotechnology for Global Care”. October 14<sup>th</sup>-17<sup>th</sup>,2008. Taksila Hotel, Maha Sarakham, Thailand. p: 138.

9. Saneewong S, Khongchareonporn N and Komolpis K. Development of norfloxacin test kit using enzyme-linked immunosorbent assay technique. The 20<sup>th</sup> Annual Meeting and international Conference of the Thai Society for Biotechnology "TSB 2008 : Biotechnology for Global Care". October 14<sup>th</sup>- 17<sup>th</sup>,2008. Taksila Hotel, Maha Sarakham, Thailand. p: 129.

*Poster*

1. Techaprempeacha S, Khongchareonporn N, Chaicharoenpong C, Aranyakananda P, Chunhabandit S and Petsom A. Proximate composition of farmed and wild sandworms (*Perinereis nantia* Savigny). 4th International Greek Biotechnology Forum. 2-3 February 2008. Zappeio, Megaro, Athens.

#### 4.7.4 งานวิจัยที่กำลังทำ

1. การพัฒนาชุดตรวจสหอบแทรกโดยปามีนต์ด้วยวิธี Enzyme-linked Immunosorbent Assay (ELISA) แหล่งทุน มหาวิทยาลัยวิจัยแห่งชาติ จุฬาลงกรณ์มหาวิทยาลัย ปี 2555 การวิจัยลุล่วงไปแล้วประมาณร้อยละ 70  
2. การพัฒนาชุดตรวจสหอบเทตราไซคลิน โดยวิธีเอนไซม์ลิงค์คอมมูนิเคอร์เบนท์เอสเซย์ (ELISA) แหล่งทุน  
งบประมาณแผ่นดิน ปี 2555 การวิจัยลุล่วงไปแล้วประมาณร้อยละ 50

#### 5. ผู้ร่วมโครงการคนที่ 4

5.1 ชื่อ-สกุล นางสาวกุมาร พิมพิทักษ์

Ms. Umaporn Pimpitak

5.2 เลขที่ประจำตัวประชาชน 3 1020 02537 911

5.3 ตำแหน่งทางวิชาการ นักวิจัย

5.4 หน่วยงาน สถาบันวิจัยทคโนโลยีชีวภาพและวิศวกรรมพันธุศาสตร์

จุฬาลงกรณ์มหาวิทยาลัย

อาคารสถาบัน 3 เขตปทุมวัน กรุงเทพฯ 10330

โทรศัพท์

02-218-8076

โทรสาร

02-253-3543

E-mail

[umaporn.p@chula.ac.th](mailto:umaporn.p@chula.ac.th)

### 5.5 ประวัติการศึกษา

มหาวิทยาลัย	ปริญญา	สาขาวิชา	ปีที่ได้รับ พ.ศ.
จุฬาลงกรณ์มหาวิทยาลัย	ปริญญาโท	เทคโนโลยีชีวภาพ	2549
มหาวิทยาลัยเทคโนโลยีราชมงคล	ปริญญาตรี	เทคโนโลยีชีวภาพ	2542

### 5.6 สาขาวิชาการที่มีความชำนาญพิเศษ

การเพาะเลี้ยงเชลล์ การผลิตโมโนคลอนอลแอนติบอดี การเตรียมมาตรฐาน ELISA และการทดสอบประสิทธิภาพชุดตรวจ

ตรวจ

### 5.7 ประสบการณ์ที่เกี่ยวข้องกับการบริหารงานวิจัยทั้งภายในและภายนอกประเทศ

5.7.1 ผู้อำนวยการแผนงานวิจัย : ไม่มี

5.7.2 หัวหน้าโครงการวิจัย : ไม่มี

5.7.3 งานวิจัยที่ทำเสร็จแล้ว (ระบุแหล่งพิมพ์และปีที่พิมพ์)

1 . Pimpitak U., Puthong, S., Komolpis, K., Petsom, A., Palaga T. (2009) Development of a monoclonal antibody-based enzyme-linked immunosorbent assay for detection of the furaltadone metabolite, AMOZ, in fortified shrimp samples. Food Chemistry 116: 785-791

5.7.4 งานวิจัยที่กำลังทำ

1.การพัฒนาชุดตรวจด้วยวิธีเอนไซม์ลิงค์คอมมูโนซอร์เบนท์เอสเซย์ของอนุพันธ์ของสารในต่อฟูเรน

2.การพัฒนาชุดตรวจด้วยวิธีเอนไซม์ลิงค์คอมมูโนซอร์เบนท์เอสเซย์ของอนุพันธ์ของสารในต่อฟูเรน: อยู่ในไชแคนโนทอน

3. การพัฒนาแบบทดสอบสำหรับการตรวจสารกัมมัฟลูออยโรคในโภชนาณ์ทางการแพทย์
4. การพัฒนาชุดตรวจวิเคราะห์เพรเจสเทกโวนในน้ำนมโดยวิธีเอนไซม์ลิงค์คอมมิวนิชอร์เบนต์แอกซ์เซร์